

Abstrakte Gruppentheorie

Def.: Eine Gruppe  $G$  ist eine Menge von verschiedenen Elementen  $g_1, g_2, \dots, g_n$ , sodass für jedes Paar von Elementen  $g_i, g_j$  eine Operation ("Multiplikation") definiert ist, die die folgenden vier Eigenschaften erfüllt

Gruppenaxiome

- 1) Das Produkt ist eindeutig und ebt. in  $G$
- 2) Das Assoziativgesetz gilt
- 3) Es ex. ein Einheits-element ( $1$  oder  $E$ )
- 4) Es ex. ein Inverses

Kommutativgesetz  $\Rightarrow$  abelsche Gruppe

Multiplikationstabelle, z. B. für die Punktgruppe

$$C_2 = \{E, \sigma\}$$

	$E$	$\sigma$
$E$	$E$	$\sigma$
$\sigma$	$\sigma$	$E$

Umordnungs-Theorem (Rearrangement Theorem)

Vor.: Sei  $G = \{g_1, \dots, g_n\}$  eine endl. Gruppe der Ordnung  $n$

Multipliziert man jedes einzelne Element von  $G$  von rechts mit einem beliebigen, aber festen Element

$$g \in G, \text{ so erhält man } gG = \{g \cdot g_1, g \cdot g_2, \dots, g \cdot g_n\}$$

Beh.: In dieser Menge taucht jedes Gruppenelement von  $G$  genau einmal auf.

Bew.: Wähle ein Element  $g_i \in G$  und multipliziere von rechts mit  $g_i^{-1}$ . Das Produkt  $g_i \cdot g_i^{-1}$  muss gleich sein einem  $g_k \in G$

$$\rightarrow g_i = g_k g \in G$$

□

Konsequenz:

In jeder Zeile (Spalte) einer Multiplikationstabelle taucht jedes Element genau einmal auf.

Def. Untergruppen sind Teilmengen einer Gruppe, die selbst wieder eine Gruppe mit derselben Multiplikation sind.  $G$  selbst und  $1$  sind triviale, alle andere echte Untergruppen

Def. Ein Element  $B \in G$  ist konjugiert zum Element  $A \in G$ , falls es ein Gruppenelement  $g$  gibt, für das gilt

$$B = g \cdot A \cdot g^{-1}$$

Falls  $B$  konj. zu  $A$ , dann ist auch  $A$  konj. zu  $B$

$$B = g A g^{-1} \rightarrow A = g^{-1} B g$$

Def: Eine Klasse einer Gruppe  $G$  ist definiert als eine Menge von Gruppenelementen, die zueinander konjugiert sind

Konstruktion von Klassen:

Für ein bel.  $g \in G$  bildet man die Menge der Produkte  $XgX^{-1}$  für alle  $X \in G$ . Die versch. Elemente dieser Menge bilden eine Klasse (die auch  $g$  enthält, denn  $EgE = g$ )

Die Elemente einer Klasse sind zueinander konjugiert. 24.4.07

Theoreme:

- Jedes Element von  $G$  ist Element irgendeiner Klasse
- Kein Element ist in zwei verschiedenen Klassen
- Die Identität  $E$  bildet immer eine Klasse für sich

Beweis:

$$a) T \in G \Rightarrow ETE^{-1} = T$$

d.h.  $T$  ist Element seiner eigenen Klasse

b)  $T \in G$  Element einer Klasse, die  $T' \in G$  enthält und weiterhin Element  $T''$

$$\begin{aligned} \hookrightarrow \exists x_1 \in G \text{ mit } T &= x_1 T' x_1^{-1} \\ \exists x_2 \in G \text{ mit } T &= x_2 T'' x_2^{-1} \end{aligned} \quad \Rightarrow \quad T' = \underbrace{x_1^{-1} x_2}_{\bar{x}} \underbrace{T''}_{T} \underbrace{x_2^{-1} x_1}_{\bar{x}^{-1}}$$

$$\Rightarrow T' = \bar{x} T'' \bar{x}^{-1}$$

$\Rightarrow T'$  und  $T''$  sind konjugiert zueinander, also Elemente derselben Klasse

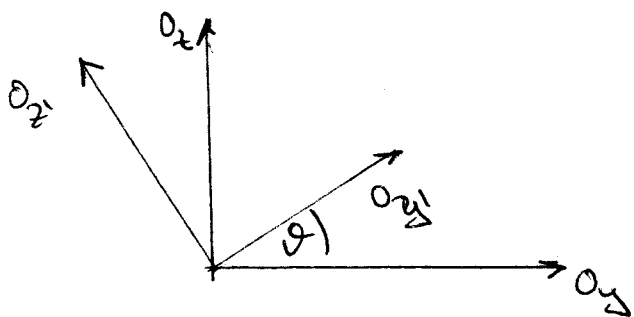
d) Für beliebiges  $T \in G \rightarrow TET^{-1} = E$

$\Rightarrow E$  ist eine Klasse für sich

## Koordinatentransformationen

1) Rotationen

Sei  $O_x, O_y, O_z$  3 untereinander orthogonale Koordinatenachsen und  $O_{x'}, O_{y'}, O_{z'}$  — — — — —  
— — — — — mit demselben Ursprung wie die Achsen  $O_x, O_y, O_z$ , und durch Rotation aus diesen hervorgeht



Ein Punkt  $P$  im Raum ist gegeben durch die Koordinaten  $\vec{r} = \begin{pmatrix} x \\ y \\ z \end{pmatrix}$  im ungestrichelten System, und durch  $\vec{r}' = \begin{pmatrix} x' \\ y' \\ z' \end{pmatrix}$  im gestrichelten System.

Dann ex. eine  $3 \times 3$ -Matrix  $R(T)$ , sodass  $\vec{r}' = R(T)\vec{r}$

z. B. um  $x$ -Achse

$$R(T) = \begin{pmatrix} 1 & 0 & 0 \\ 0 & \cos \vartheta & \sin \vartheta \\ 0 & -\sin \vartheta & \cos \vartheta \end{pmatrix}$$

Rotationen lassen die Länge jedes Ortsvektors invariant, ebenso die Winkel zwischen beliebigen Paaren von Ortsvektoren

$$\vec{r}_1^T \cdot \vec{r}_2 = \vec{r}_1^T \cdot \vec{r}_2' = \vec{r}_1^T R(T)^+ R(T) \vec{r}_2$$

$$\rightarrow R(T)^+ R(T) = 1$$

$\det R(T) = +1$  eigentliche Rot

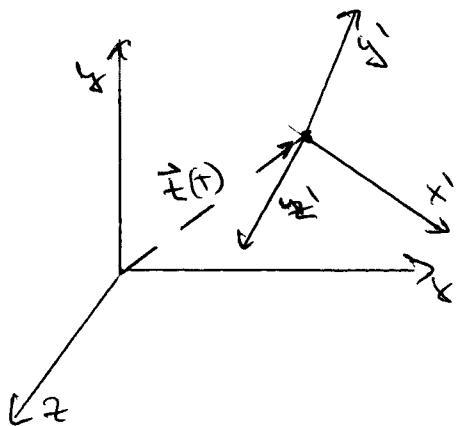
$\det R(T) = -1$  un- - -

Def: "Produkt" zweier Rotationen  $T_1$  und  $T_2$ : diejenige Rotation, für die die Transformationsmatrix gegeben ist durch  $R(T_1 T_2) = R(T_1) R(T_2)$

## 2) Translationen

$$O_x, O_y, O_z \Rightarrow O_{x'}, O_{y'}, O_{z'}$$

gegeneinander rotiert, aber nicht mit demselben Ursprung. Die Transformation  $T$  setzt beide Koordinatensysteme zueinander in Bezug.



Beziehung zwischen  $\vec{r}$  und  $\vec{r}'$  eines festen Punktes P

$$\vec{r}' = R(T) \vec{r} + \vec{l}(T)$$

$$\text{Def.: } \vec{r}' = \{ R(T) | \vec{l}(T) \} \vec{r}$$

Zwei aufeinanderfolgende Transformationen  $T_1$  und  $T_2$

$$\vec{r}' = \{ R(T_2) \mid \vec{t}(T_2) \} \vec{r}$$

$$\vec{r}'' = \{ R(T_1) \mid \vec{t}(T_1) \} \vec{r}'$$

$$\begin{aligned} \vec{r}'' &= R(T_1) \vec{r}' + \vec{t}(T_1) = R(T_1) [R(T_2) \vec{r} + \vec{t}(T_2)] + \vec{t}(T_1) \\ &= \underbrace{R(T_1) R(T_2)} \vec{r} + \underbrace{R(T_1) \vec{t}(T_2) + \vec{t}(T_1)} \\ &= R(T_1 T_2) \vec{r} + \vec{t}(T_1 T_2) \end{aligned}$$

Def. "Produkt" von Operationen  $T_1$  und  $T_2$

$$\begin{aligned} \{ R(T_1, T_2) \mid \vec{t}(T_1 T_2) \} &= \{ R(T_1) R(T_2) \mid R(T_1) \vec{t}(T_2) \\ &\quad + \vec{t}(T_1) \} \\ &= \{ R(T_1) \mid \vec{t}(T_1) \} \{ R(T_2) \mid \vec{t}(T_2) \} \end{aligned}$$

Dieses Produkt erfüllt das Assoziativgesetz

Def. Inverses von  $\{ R(T) \mid \vec{t}(T) \}$

$$\{ R(T) \mid \vec{t}(T) \}^{-1} = \{ R(T)^{-1} \mid -R(T)^{-1} \vec{t}(T) \}$$

für das Inverse eines Produkts gilt

$$\begin{aligned} \{ R(T_1 T_2) \mid \vec{t}(T_1 T_2) \}^{-1} &= \{ R(T_2) \mid \vec{t}(T_2) \}^{-1} \\ &\quad \cdot \{ R(T_1) \mid \vec{t}(T_1) \}^{-1} \end{aligned}$$

"keine" Rotation:  $\vec{t}(T) = 0$   $\{ R(T) \mid \vec{0} \}$

"reine" Translation:  $R(T) = 1$   $\{ 1 \mid \vec{t}(T) \}$

Identität  $\{ 1 \mid \vec{0} \}$

## Die Gruppe der Schrödinger-Gleichungen

Betrachte ein physikalisches System, das durch einen (zeitunabhängigen) Hamiltonoperator  $\hat{H}$  beschrieben wird

Vereinfachende Annahmen:

- 1)  $\hat{H}$  ist ein Ein-Teilchen-Hamiltonoperator  $\hat{H} = \hat{H}(\vec{p})$   
(für mehr als ein Teilchen soll  $\hat{H}(\vec{p})$  ein effektiver (Mean-Field) Hamiltonoperator sein, z. B. Hartree-Fock Theorie, Dichtefunktionaltheorie)
- 2)  $\hat{H}$  ist unabhängig vom Spin  $\rightarrow$  Wellenfunktion ist skalare Funktion multipliziert mit einer Spin-Funktion (für Elektronen  $|\uparrow\rangle, |\downarrow\rangle$ )

Betrachte die Menge von Koordinatentransformationen, die den Hamiltonoperator invariant lassen, d.h.

$$\hat{H}(\{R(\tau) | \vec{r}(\tau)\}) = \hat{H}(\vec{r})$$

Diese Menge von Koordinatentransformationen bilden eine Gruppe, die "Gruppe der Schrödinger-Gleichungen" (oder die "Invarianzgruppe des Hamiltonoperators")

Überprüfe Gruppenaxiome:

$$1) T_1, T_2 \in \mathcal{G} \rightarrow T_1 T_2 \in \mathcal{G}$$

$$\text{z.z.: } \hat{H} \text{ invariant unter } T_1 \text{ und } T_2 \rightarrow \hat{H} \text{ invariant unter } T_1 T_2$$

$$\hat{H}(\vec{r}^0) = \hat{H}(\vec{r}^1) \quad \vec{r}^0 = \{R(T_1) | \vec{r}(T_1)\} \vec{r}^1$$

$$\hat{H}(\vec{r}^1) = \hat{H}(\vec{r}^2) \quad \vec{r}^1 = \{R(T_2) | \vec{r}(T_2)\} \vec{r}^2$$

$$\rightarrow \hat{H}(\vec{r}') = \hat{H}(\vec{r}) = H(\{\vec{R}(T_1) | \vec{r}(T_1)\} \{\vec{R}(T_2) | \vec{r}(T_2)\} \vec{r})$$

2) Assoziativgesetz  $\rightarrow$  Übung

3) Identität:  $\{\mathbb{1} | \vec{0}\}$

$$\hat{H}(\{\mathbb{1} | \vec{0}\} \vec{r}) = \hat{H}(\vec{r})$$

4) Inverse  $\hat{H}(\vec{r}') = H(\vec{r}) \quad \vec{r}' = \{\vec{R}(T) | \vec{r}(T)\}^{-1} \vec{r}$

### Skalarer Transformationsoperator

Sei  $\psi(\vec{r})$  ein skalares Feld, wobei  $\vec{r}$  ~~sich auf~~  
~~sich~~ sich auf einen Ortsvektor im Koordinatensystem  
 $O, O_x, O_z$  bezieht. Das selbe Feld wird in einem  
 anderen coord. - System  $O', O'_x, O'_z$  durch eine  
 Funktion  $\psi'(\vec{r}')$  dargestellt

$$\psi'(\vec{r}') = \psi(\vec{r})$$

Seien die coord. - Systeme durch die coord. - Trafo,  $T$   
 verbunden

$$\vec{r}' = \{\vec{R}(T) | \vec{r}(T)\} \vec{r} \rightarrow \vec{r} = \{\vec{R}(T) | \vec{r}(T)\}^{-1} \vec{r}'$$

$$\psi'(\vec{r}') = \psi(\{\vec{R}(T) | \vec{r}(T)\}^{-1} \vec{r}')$$

Definiere skalaren Transformationsoperator  $\hat{P}(T)$

$$\psi'(\vec{r}') = \hat{P}(T) \psi(\vec{r}) = \psi(\{\vec{R}(T) | \vec{r}(T)\}^{-1} \vec{r}')$$

Eigenschaften:

- linear  $\hat{P}(\tau) (a \phi(\tau) + b \psi(\tau))$   
 $= a \hat{P}(\tau) \phi(\tau) + b \hat{P}(\tau) \psi(\tau)$

- unitär im Hilbert-Raum  $L^2$

$$\langle \hat{P}(\tau) \phi | \hat{P}(\tau) \psi \rangle = \langle \phi | \psi \rangle$$

mit  $\langle \phi | \psi \rangle = \int d^3r \phi^*(\vec{r}) \psi(\vec{r})$   
 und  $\langle \phi | \phi \rangle < \infty$

$$\begin{aligned} & \langle \hat{P}(\tau) \phi | \hat{P}(\tau) \psi \rangle \\ &= \int d^3r' (\hat{P}(\tau) \phi^*(\vec{r}')) \hat{P}(\tau) \psi(\vec{r}') \\ &= \int d^3r' \phi^*(\{\mathbf{R} | \vec{\xi}\}^{-1} \vec{r}') \psi(\{\mathbf{R} | \vec{\xi}\}^{-1} \vec{r}') \end{aligned}$$

def  $\vec{r}'' := \{\mathbf{R}(\tau) | \vec{\xi}(\tau)\}^{-1} \vec{r}' \rightarrow \vec{r}' = \{\mathbf{R}(\tau) | \vec{\xi}(\tau)\} \vec{r}''$   
 $d^3r' := \det \frac{\partial \vec{r}'}{\partial \vec{r}''} d^3r'' \quad \frac{\partial \vec{r}'}{\partial \vec{r}''} = \begin{pmatrix} \frac{\partial x'_1}{\partial x''_1} & \frac{\partial x'_1}{\partial x''_2} & \frac{\partial x'_1}{\partial x''_3} \\ \frac{\partial x'_2}{\partial x''_1} & \dots & \dots \\ \dots & \dots & \dots \end{pmatrix}$

-  $\hat{P}(\tau_1 \tau_2) = \hat{P}(\tau_1) \hat{P}(\tau_2)$

Zeige, dass für beliebige  $\psi(\vec{r})$  gilt:

$$\hat{P}(\tau_1 \tau_2) \psi(\vec{r}) = \hat{P}(\tau_1) \underbrace{(\hat{P}(\tau_2) \psi(\vec{r}))}_{\phi(\vec{r})}$$

$$= \phi(\{\mathbf{R}(\tau_1) | \vec{\xi}(\tau_1)\}^{-1} \vec{r})$$

$$= \psi(\underbrace{\{\mathbf{R}(\tau_2) | \vec{\xi}(\tau_2)\}^{-1} \{\mathbf{R}(\tau_1) | \vec{\xi}(\tau_1)\}^{-1} \vec{r}}_{\{\mathbf{R}(\tau_1 \tau_2) | \vec{\xi}(\tau_1 \tau_2)\}})$$

- Für jede koord.-Trafo T der Gruppe der Schrödinger-Gleichungen gilt

(Beh.:)  $\hat{P}(T) \hat{H}(T) = \hat{H}(T) \hat{P}(T)$

Bew.:  $\hat{P}(T) \cdot \underbrace{(\hat{H}(T) \Psi(T))}_{\phi(T)} = \phi(\{\mathbb{R} | \vec{t}\}^{-1} T)$   
 $= \underbrace{\hat{H}(\{\mathbb{R} | \vec{t}\}^{-1} T)}_{\hat{H}(T) \hat{P}(T)} \Psi(\{\mathbb{R} | \vec{t}\}^{-1} T)$

3.5.07

Darstellungen von Gruppen

Def.: Homomorphe Abbildung einer Gruppe  $G$  auf eine Gruppe  $G'$ :

Seien  $G, G'$  zwei gegebene Gruppen und  $f$  sei eine Abbildung, die die Gruppenelemente  $G \in G$  auf Gruppenelemente  $G' \in G'$  abbildet, d. h.

$$G' = f(G)$$

Wenn gilt

$$f(G_i \cdot G_j) = f(G_i) \cdot f(G_j)$$

dann heißt  $f$  eine homomorphe Abbildung.

$$G \sim G'$$

Bsp.:

$$C_{31} \sim C_2$$

$C_{31}$  = Gruppe des gl.s. Dreiecks  
 $C_2 = \{E, C\}$  Ordnung 6

homomorphe Abb.:

$$E, C_3, C_3^2 \xrightarrow{f} E$$

$$\sigma_1, \sigma_2, \sigma_3 \xrightarrow{f} C$$

$$\sigma_1 = \sigma_1$$

$$f(\sigma_1) = C ; f(C_3^2) = E \Rightarrow f(\sigma_1) \cdot f(C_3^2) = C$$

$$\sigma_2 = C_3^2$$

$$\sigma_1 \cdot C_3 = \sigma_2$$

$$\Rightarrow f(\sigma_1 \cdot C_3) = C$$

Beachte: die Abbildung ist  $n (= 3)$  zu 1,  
d.h. je 3 Elemente von  $C_{3V}$  werden ein Element  
von  $C_2$  abgebildet

Def.: Isomorphe Abbildung von  $G$  auf  $G'$   
wenn  $f$  eine Eins-zu-Eins Abbildung  
einer Gruppe  $G$  auf eine Gruppe  $G'$  Selbsterhaltung  
wie  $G$  ist, sodass

$$f(g_i \cdot g_j) = f(g_i) \cdot f(g_j)$$

dann heißt  $f$  eine isomorphe Abbildung,

$$G \cong G'$$

Def.: Darstellungen einer Gruppe  $G$

Wenn es eine homomorphe Abbildung einer Gruppe  $G$   
gibt auf eine Menge von nicht-singulären  $d \times d$ -  
Matrizen  $\Gamma(T)$  mit Matrixmultiplikation als der  
Gruppenmultiplikation, dann bildet die Gruppe der  
Matrizen  $\Gamma(T)$  eine  $d$ -dimensionale Darstellung  
 $\Gamma$  von  $G$  (d.h.  $\Gamma(T_i) \Gamma(T_j) = \Gamma(T_i \cdot T_j)$ )

Bsp. Darstellung von  $C_{3V}$

$$1) \Gamma^{(A1)}(E) = \Gamma^{(A1)}(C_3) = \Gamma^{(A1)}(\sigma_1) = \dots = 1$$

1-dimensionale Matrix

$$2) \Gamma^{(A2)}(E) = \Gamma^{(A2)}(C_3) = \Gamma^{(A2)}\left(\begin{pmatrix} 2 \\ 3 \end{pmatrix}\right) = 1$$

$$\Gamma^{(A2)}(\sigma_1) = \Gamma^{(A2)}(\sigma_2) = \Gamma^{(A2)}(\sigma_3) = -1$$

3) 2-dimensionale Darstellung  $\rightarrow$  S. Aufg. 3

## Def.: Basis einer Darstellung

Seien  $\psi_1 \dots \psi_d$  linear unabhängige Elemente eines Vektorraums und seien <sup>gegeben</sup> lineare Operatoren  $G_i$ , die auf die Elemente dieses Vektorraums wirken und untereinander eine Gruppe bilden. Dann heißt die Menge  $\{\psi_1 \dots \psi_d\}$  die Basis einer Darstellung  $\Gamma$ , wenn gilt

$$G_i \cdot \psi_m = \sum_{n=1}^d \Gamma(G_i)_{mn} \psi_n$$

für alle  $G_i \in \mathcal{G}$ . Die Elemente der Basis heißen Partner, Basisvektoren oder Basisfunktionen der Darstellung  $\Gamma$ .

Bsp.: Basisfunktionen einer Gruppe  $\mathcal{G}$  von Koordinatentransformationen  $T \quad (\{R | \mathbb{R}^d\})$

wenn gilt

$$\hat{P}(T) \psi_n(\mathbb{R}) = \sum_{m=1}^d \Gamma(T)_{mn} \psi_m(\mathbb{R}) \quad n=1 \dots d$$

dann bilden die  $\psi_n(\mathbb{R})$  eine Basis der  $d$ -dimens. Darstellung  $\Gamma$  von  $\mathcal{G}$ . Man sagt auch, dass

sich " $\psi_n(\mathbb{R})$  transformiert wie die  $n$ -te Zeile  von  $\Gamma$ "

## Def.: Äquivalente Darstellungen

Sei  $\Gamma$  eine  $d$ -dimensionale Darstellung einer Gruppe  $\mathcal{G}$  und  $S$  sei eine nicht-singuläre  $d \times d$  Matrix. Definiere für jedes Element  $T \in \mathcal{G}$  eine  $d \times d$  Matrix

$$\Gamma'(T) = S^{-1} \Gamma(T) S$$

Dann bildet die Menge der Matrizen  $\Gamma'$  ebenfalls eine  $d$ -dimensionale Darstellung von  $G$ . Die Darstellungen  $\Gamma$  und  $\Gamma'$  heißen dann äquivalent und sind durch eine Ähnlichkeitstransformation verbunden.

Zeige, dass  $\Gamma'$  eine Darstellung ist

$$\Gamma'(T_1) \Gamma'(T_2) = S^{-1} \Gamma(T_1) S S^{-1} \Gamma(T_2) S = \Gamma'(T_1 T_2)$$

Def. Unitäre Darstellung einer Gruppe

Eine unitäre Darstellung  $\Gamma$  einer Gruppe  $G$  ist eine Darstellung für die die Darstellungsmatrizen  $\Gamma(T_i)$  unitär sind für alle  $T_i \in G$

Theorem: Sei  $G$  eine endliche Gruppe. Dann ist jede Darstellung äquivalent zu einer unitären Darstellung

Beweis:  $\rightarrow$  Übung

### Reduzible und Irreduzible Darstellungen

Gegeben sein zwei Darstellungen  $\Gamma^{(1)}$  und  $\Gamma^{(2)}$  der Gruppe  $G$ . Dann kann man eine Darstellung höherer Dimension konstruieren, z.B. durch

$$\Gamma(T) = \begin{pmatrix} \Gamma^{(1)}(T) & 0 \\ 0 & \Gamma^{(2)}(T) \end{pmatrix}$$

oder kurz  $\Gamma(T) = \Gamma^{(1)}(T) \oplus \Gamma^{(2)}(T)$

$$\Gamma(T_1 T_2) = \begin{pmatrix} \Gamma^{(1)}(T_1 T_2) & 0 \\ 0 & \Gamma^{(2)}(T_1 T_2) \end{pmatrix}$$

$$\Gamma(T_1) \Gamma(T_2) = \begin{pmatrix} \Gamma^{(1)}(T_1) & 0 \\ 0 & \Gamma^{(2)}(T_1) \end{pmatrix} \begin{pmatrix} \Gamma^{(1)}(T_2) & 0 \\ 0 & \Gamma^{(2)}(T_2) \end{pmatrix} = \begin{pmatrix} \Gamma^{(1)}(T_1) \Gamma^{(1)}(T_2) & 0 \\ 0 & \Gamma^{(2)}(T_1) \Gamma^{(2)}(T_2) \end{pmatrix}$$

allgemeiner:

$$\Gamma(T) = \Gamma^{(1)}(T) \oplus \Gamma^{(2)}(T) \oplus \dots$$

Def. (Vollständig) Reduzierte Darstellung einer Gruppe  $G$ .

Eine Darstellung  $\Gamma$  einer Gruppe  $G$  heißt "(vollständig) reduzibel", wenn sie äquivalent ist zu einer Darstellung die für alle Elemente  $T \in G$  die Block-Diagonalform hat. Ansonsten heißt die Darstellung  $\Gamma$  "irreduzibel".

### Erste Anwendung von Darstellungen

Theorem: Die Eigenfunktionen eines  $n$ -fach entarteten Eigenwerts  $\epsilon$  der zeitunabhängigen Schrödingergleichung

$$\hat{H}(\vec{r}) \psi(\vec{r}) = \epsilon \psi(\vec{r})$$

bilde die Basis eines  $n$ -dimensionalen Darstellung der Gruppe der Schrödingergleichungen.

Beweis: Seien  $\psi_1(\vec{r}) \dots \psi_n(\vec{r})$  ein Satz linear unabhängiger Eigenfunktionen von  $\hat{H}(\vec{r})$  zum Eigenwert  $\epsilon$ , d.h.

$$\hat{H}\psi_i = \epsilon \psi_i, \quad i = 1, \dots, n$$

Für jede Transformation der Gruppe der Schrödingergleichungen gilt

$$\begin{aligned} \hat{H}(\vec{r}) (\hat{P}(T) \psi_i(\vec{r})) &= \hat{P}(T) (\hat{H}(\vec{r}) \psi_i(\vec{r})) \\ &= \epsilon \hat{P}(T) \psi_i(\vec{r}) \end{aligned}$$

d.h.  $\hat{P}(T) \psi_i(\vec{r})$  ist Eigenfunktion von  $\hat{H}$  zum Eigenwert  $\epsilon$ .

$$\hat{P}(T) \psi_i(\vec{r}) = \sum_{j=1}^n \Gamma(T)_{ji} \psi_j(\vec{r}) \quad \text{mit irgendwelchen Koeffizienten } \Gamma(T)_{ji}$$

$$\begin{aligned} \hat{P}(T_1) \hat{P}(T_2) \psi_e(\vec{r}) &= \hat{P}(T_1) \sum_{k=1}^n \Gamma(T_2)_{ke} \psi_k(\vec{r}) \\ &= \sum_{k=1}^n \Gamma(T_2)_{ke} \sum_{j=1}^n \Gamma(T_1)_{jk} \psi_j(\vec{r}) \\ &= \sum_{j=1}^n \sum_{k=1}^n \Gamma(T_1)_{jk} \Gamma(T_2)_{ke} \psi_j(\vec{r}) \end{aligned}$$

$$\hat{P}(T_1 T_2) \psi_e(\vec{r}) = \sum_{j=1}^n \Gamma(T_1 T_2)_{je} \psi_j(\vec{r})$$

$\{\psi_j\}$  linear unabhängig

$$\Gamma(T_1 T_2)_{je} = \sum_k \Gamma(T_1)_{jk} \Gamma(T_2)_{ke}$$

→ Die Matrizen  $\Gamma$  bilden eine Darstellung der Gruppe der Schrödingergleichungen

§ 5. 67

### 1. Schursche Lemma

Gegeben seien zwei irreduzible Darstellungen

$\Gamma^{(1)}$  und  $\Gamma^{(2)}$  einer Gruppe  $G$  mit Dimension  $n$  und

$n$ . Dann <sup>mit es</sup>  $\exists$  eine  $m \times n$ -Matrix, die die Beziehung

$$\Gamma^{(1)}(g) M = M \Gamma^{(2)}(g) \quad \forall g \in G$$

erfüllt, entweder

a) die Null-Matrix  $M \equiv 0$  oder

b) eine quadr.  $n \times n$ -Matrix mit  $\det M \neq 0$

Beweis:

a) trivial

b) Sei  $M \neq 0$  ,  $m \geq n$

Sei  $\gamma_1 \dots \gamma_m$  eine Basis der Darstellung  $\Gamma^{(1)}$  die transformiert wird wie

$$g \gamma_j = \sum_{i=1}^m \Gamma^{(1)}(g)_{ij} \gamma_i \quad j=1 \dots m$$

konstruiere neuen Satz von Funktionen:

$$\phi_l = \sum_{j=1}^m M_{jl} \gamma_j \quad l=1 \dots n$$

die transformieren wie

$$g \phi_l = \sum_{i=1}^m \sum_{j=1}^m \Gamma^{(1)}(g)_{ij} M_{jl} \gamma_i$$

$$\stackrel{(*)}{\Downarrow} \sum_{i=1}^m \sum_{j=1}^m M_{ij} \Gamma^{(2)}(g)_{ij} \gamma_i$$

$$= \sum_{j=1}^m \Gamma^{(2)}(g)_{jl} \phi_j$$

$\hookrightarrow \{\phi_l\}$  ist eine Basis (Form einer KO-Transf.)

$\hookrightarrow m = n$  ,  $M$  muss reguläre Matrix sein

ansonsten wären die  $n$  Basisfunktionen

$\phi_l$  nicht linear unabhängig

$\Downarrow$  zur Irreversibilität von  $\Gamma^{(2)}$

q. e. d

---

\* aus der Voraussetzung  $\Rightarrow$

$$[\Gamma^{(1)}(g) M]_{il} = [M \Gamma^{(2)}(g)]_{il}$$

$$\sum_{j=1}^m \Gamma^{(1)}(g)_{ij} M_{jl} = \sum_{j=1}^m M_{ij} \Gamma^{(2)}(g)_{jl}$$

## 2. Schursche Lemma

Eine  $n \times n$ -Matrix  $M$ , die mit allen Darstellungsmatrizen  $\Gamma(g)$  einer  $n$ -dim., irreduziblen Darstellung vertauscht, d.h. 

$$\Gamma(g)M = M\Gamma(g) \quad \forall g \in \mathcal{G}$$

ist ein Vielfaches der Einheitsmatrix,  $M = c \cdot \mathbb{1}$ ,  $c \in \mathbb{C}$

Beweis: Sei  $c$  eine bel. komplexe Zahl

$$\Gamma(g)(M - c\mathbb{1}) = (M - c\mathbb{1})\Gamma(g)$$

1. Schursches Lemma  $\rightarrow$  entweder  $M - c\mathbb{1} = 0$   
oder  $\det(M - c\mathbb{1}) \neq 0$

$c$  beliebig: wähle  $c$  als einen der Eigenwerte

$$\hookrightarrow \det(M - c\mathbb{1}) = 0$$

$$\Rightarrow M = c\mathbb{1} \quad \text{g. e. d.}$$

## Abelsche Gruppe

Theorem: Jede irreduzible Darstellung einer abelschen Gruppe ist eindimensional

Bew: Sei  $\Gamma$  eine irreduzible Darst einer Abelschen Gruppe

$$\Gamma(g)\Gamma(g') = \Gamma(g')\Gamma(g) \quad \forall g, g' \in \mathcal{G}$$

2. Schursche Lemma  $\Rightarrow \Gamma(g') = c(g')\mathbb{1}$

$\hookrightarrow \Gamma$  ist nur irreduzibel, wenn es eine eindimensionale Darstellung ist.

Vgl. Blochtheoreme:

$$\Psi_{\vec{r}}(\vec{r} + \vec{R}) = e^{i\vec{r} \cdot \vec{R}} \Psi_{\vec{r}}(\vec{r})$$

$$P(\vec{r}) \Psi_{\vec{r}}(\vec{r}) = \Gamma(\{\pm 1 - \vec{R}\}) \Psi_{\vec{r}}(\vec{r})$$

↑  
lineare Darstellung

### Großes Orthogonalitätstheorem

Seien  $\Gamma^{(\alpha)}$  und  $\Gamma^{(\beta)}$  zwei unitäre, irreduzible Darstellungen einer endlichen Gruppe  $G$  (Ordnung  $g$ ), die nicht-äquivalent sein soll für  $\alpha \neq \beta$  (und gleich für  $\alpha = \beta$ ), dann gilt

$$\sum_g \Gamma^{(\alpha)}(g)_{ik}^* \Gamma^{(\beta)}(g)_{jl} = \frac{g}{d_\alpha} \delta_{\alpha\beta} \delta_{ik} \delta_{jl}$$

Dabei ist  $d_\alpha$  die Dimension von  $\Gamma^{(\alpha)}$

Beweis: Sei  $B$  eine beliebige  $d_\alpha \times d_\beta$ -Matrix.

Konstruiere eine Matrix  $M$ :

$$M = \sum_{g \in G} \Gamma^{(\alpha)}(g^{-1}) B \Gamma^{(\beta)}(g)$$

$$\Rightarrow \Gamma^{(\alpha)}(g') M = \sum_{g \in G} \Gamma^{(\alpha)}(g' g^{-1}) B \Gamma^{(\beta)}(g)$$

$g'' = g' g^{-1}$  + Umordnungstheorem

$$\begin{aligned} &= \sum_{g'' \in G} \Gamma^{(\alpha)}(g''^{-1}) B \underbrace{\Gamma^{(\beta)}(g'' g')}_{\Gamma^{(\beta)}(g'') \Gamma^{(\beta)}(g')} \\ &= M \Gamma^{(\beta)}(g') \end{aligned}$$

$\Rightarrow M$  erfüllt 1. Schursches Lemma

1. Fall

$\Rightarrow$  Sei  $\alpha \neq \beta \Rightarrow M \equiv 0$

$$0 = M_{jk} = \sum_{i'} \sum_{k'} \sum_g \Gamma^{(\alpha)}(g^{-1})_{ji'} B_{i'k'} \Gamma^{(\beta)}(g)_{k'l}$$

B beliebig

$\hookrightarrow$  wähle  $B_{ik} = \delta_{ii'} \delta_{kk'}$

$$\hookrightarrow \sum_g \Gamma^{(\alpha)}(g^{-1})_{ji} \Gamma^{(\beta)}(g)_{kl} = 0$$

$$\begin{aligned} \text{Unitarität } \Gamma^{(\alpha)}(g^{-1})_{ji} &= [\Gamma^{(\alpha)}(g)^\dagger]_{ji} \\ &= \Gamma^{(\alpha)}(g)_{ij}^* \end{aligned}$$

2. Fall

Sei  $\alpha = \beta$ :  $\Gamma^{(\alpha)}$  und  $\Gamma^{(\beta)}$  identisch

Schritt

$$\Rightarrow M = c \mathbb{1}$$

$$c \delta_{jk} = \int \sum_{g \in G} \Gamma^{(\alpha)}(g^{-1})_{ji} - \int \Gamma^{(\alpha)}(g)_{kl}$$

setze  $l = j$ , und Summiere über  $j$  von 1 bis  $d_\alpha$

$$\begin{aligned} c &= \sum_g \Gamma^{(\alpha)}(g^{-1})_{ji} \Gamma^{(\alpha)}(g)_{kj} \\ &= \sum_g \underbrace{\Gamma^{(\alpha)}(g g^{-1})}_{\delta_{ki}} k_i \end{aligned}$$

$$c d_\alpha = g \delta_{ki} \quad \rightarrow \quad c = \frac{g}{d_\alpha} \delta_{ki}$$

g. e. d.

## Charaktere

Def.: Sei  $\chi(g)$  definiert als Spur der Darstellungsmatrix  $\Gamma(g)$  eines Gruppenelements  $g \in G$

$$\begin{aligned}\chi(g) &= \text{Sp} \{ \Gamma(g) \} \\ &= \sum_{i=1}^d \Gamma(g)_{ii}\end{aligned}$$

Dann heißt die Menge  $\chi(g_1), \dots, \chi(g_n)$  für alle  $g$  Gruppenelemente der "Charakter" der Darstellung  $\Gamma$ . Ist  $\Gamma$  irreduzibel, dann heißt auch der Charakter irreduzibel

Eigenschaften:

1) Die Werte  $\chi(g)$  sind gleich für alle Gruppenelemente derselben Klasse:

$$g_i, g_j \text{ selbe Klasse} \Rightarrow \forall g: g g_i g^{-1} = g_j$$

$$\begin{aligned}\text{Sp} \{ \Gamma(g) \Gamma(g_i) \Gamma(g)^{-1} \} &= \text{Sp} \{ \Gamma(g_j) \} \\ &= \text{Sp} \{ \Gamma(g_i) \}\end{aligned}$$

2) Äquivalente Darstellungen haben denselben Charakter

$\Gamma, \Gamma'$  äquivalent:

$$\Gamma'(g) = S^{-1} \Gamma(g) S \quad \forall g$$

$$\text{Sp} [ \Gamma'(g) ] = \text{Sp} [ \Gamma(g) ]$$

## Theorem: 1 Orthogonalität für Charaktere

Charaktere zweier irreduzibler Darstellungen  $\Gamma^{(\alpha)}$  und  $\Gamma^{(\beta)}$  erfüllen die Orthogonalitätsbeziehung

$$\sum_{g \in G} \chi^{(\alpha)}(g)^* \chi^{(\beta)}(g) = g \delta_{\alpha\beta}$$

Beweis: großes Orthogonalitätstheorem für Darstellungen

## Reduktion einer reduzierbaren Darstellung

Eine reduzierbare Darstellung ist äquivalent zu einer direkten Summe von irreduziblen Darstellungen

$$\Gamma(g) = \sum_{\alpha} g_{\alpha} \Gamma^{(\alpha)}(g)$$

wobei  $g_{\alpha}$  nicht-negative ganze Zahlen sind

→ Charaktere

$$\chi(g) = \sum_{\alpha} g_{\alpha} \chi^{(\alpha)}(g)$$

wie erhält man  $g_{\alpha}$ ? → multiplizieren mit  $\chi^{(\beta)}(g)^*$  und  $\sum_g$

$$\sum_g \chi^{(\beta)}(g)^* \chi(g) = \sum_{\alpha} g_{\alpha} \underbrace{\sum_g \chi^{(\beta)}(g)^* \chi^{(\alpha)}(g)}_{g \delta_{\alpha\beta}}$$

$$\Rightarrow \boxed{g_{\alpha} = \frac{1}{g} \sum_g \chi^{(\alpha)}(g)^* \chi(g)}$$

15.5.07

## Kommentar zum Orthogonalitätstheorem für Charaktere

Für alle  $h_k$  Elemente aus der Klasse  $e_k$  sind

Charaktere gleich: schreibe  $\chi^{(\alpha)}(g) = \chi^{(\alpha)}(e_k)$  mit  $g \in e_k$

$$\sum_{k=1}^{n_c} h_k \chi^{(\alpha)}(e_k)^{\dagger} \chi^{(\beta)}(e_k) = g \cdot \delta_{\alpha\beta}$$

mit  $n_c =$  Zahl der Klassen von  $g$

Theorem: 2. Orthogonalität für Charaktere  $\chi^{(\alpha)}$  ~~linear~~ <sup>linear</sup> ~~zweier~~

irreduzibler Darstellungen  $\Gamma^{(\alpha)}$  für die Klasse  $e_i$

$$\sum_{\alpha=1}^{n_r} \chi^{(\alpha)}(e_i)^{\dagger} \chi^{(\alpha)}(e_j) = \delta_{ij} \frac{g}{h_j}$$

$n_r$ : Zahl der nichtäquivalenten irreduziblen Darstellungen der Gruppe

$h_j$ : Zahl der Elemente in Klasse  $e_j$

Konsequenzen:

betrachte Vektor

$$\left\{ \sqrt{h_1} \chi^{(\alpha)}(e_1), \sqrt{h_2} \chi^{(\alpha)}(e_2), \dots, \sqrt{h_{n_c}} \chi^{(\alpha)}(e_{n_c}) \right\}$$

$n_c$ -dim. Vektor

↳ 1. Orthogonalität ist nichts anderes als Skalarprodukt zweier solcher Vektoren

$n_c$ -dimensionaler Vektorraum  $\rightarrow$  max  $n_c$  lin. unabh. orthog. Vektoren  $\rightarrow n_r \leq n_c$

Ähnlich: betrachte Vektor

$$\{ \chi^{(1)}(e_i), \chi^{(2)}(e_i), \dots, \chi^{(n_r)}(e_i) \} \in n_r\text{-dim.}$$

$$\rightarrow n_c = n_r$$

Die Zahl der Klassen ist gleich der Zahl der nicht-  
äquivalenten irreduziblen Darstellungen.

### Charaktertafel

z.B.:

$C_{3v}$

		Klasse		
		$1E_1$	$2E_2$	$3E_3$
irred. Darstell.	$A_1 \quad \Gamma^{(1)}$	1	1	1
	$A_2 \quad \Gamma^{(2)}$	1	1	-1
	$E \quad \Gamma^{(3)}$	2	-1	0

### Die reguläre Darstellung

Def. Die "reguläre Darstellung" ist definiert durch die Matrix

$$\Gamma^{\text{reg}}(g)_{ij} = \delta(g_i^{-1} g g_j)$$

$$\text{mit } \delta(g) = \begin{cases} 1 & \text{falls } g = E \\ 0 & \text{sonst} \end{cases}$$

$i, j$  sind Indizes für Gruppenelemente  $g_i$  und  $g_j$

$\Rightarrow \Gamma^{\text{reg}}$  ist  $g$ -dimensional wobei  $g$  die Ordnung der Gruppe ist

$\Gamma^{\text{reg}}$  ist Darstellung:

$$\begin{aligned} [\Gamma^{\text{reg}}(g) \Gamma^{\text{reg}}(g')]_{ij} &= \sum_k \Gamma^{\text{reg}}(g)_{ik} \Gamma^{\text{reg}}(g')_{kj} \\ &= \sum_k \delta(g_i^{-1} g g_k) \delta(g_k^{-1} g' g_j) \\ &= \delta(g_i^{-1} g g' g_j) \textcircled{*} \\ &= [\Gamma^{\text{reg}}(gg')]_{ij} \end{aligned}$$

$\textcircled{*}$  einziger Beitrag in der Summe für

$$g_i^{-1} g g_k = \mathbb{E} \quad \text{und} \quad g_k^{-1} g' g_j = \mathbb{E}$$

$$g_i^{-1} g \underbrace{g_k g_k^{-1}}_{\mathbb{E}} g' g_j = \mathbb{E}$$

Charakter von  $\Gamma^{\text{reg}}$

$$\begin{aligned} \chi^{\text{reg}}(g) &= \sum_{i=1}^g \Gamma^{\text{reg}}(g)_{ii} = \sum_{i=1}^g \delta(g_i^{-1} g g_i) \\ &= \begin{cases} g & \text{für } g = \mathbb{E} \\ 0 & \text{sonst} \end{cases} \end{aligned}$$

Im Allgemeinen ist  $\Gamma^{\text{reg}}$  eine reduzierbare Darstellung,

d.h.  $\Gamma^{\text{reg}} \cong \sum_{\alpha} q_{\alpha} \Gamma^{(\alpha)}$

$\Gamma^{(\alpha)}$ : irreduzible Darstellung

$q^{(\alpha)}$ : nicht-negative ganze Zahl

$$\chi^{\text{reg}}(g) = \sum_{\alpha} f_{\alpha} \chi^{(\alpha)}(g)$$

$$f_{\alpha} = \frac{1}{g} \sum_{g} \chi^{(\alpha)}(g)^* \chi^{\text{reg}}(g)$$

$$= \frac{1}{g} \chi^{(\alpha)}(E)^* \cdot g$$

$$= d_{\alpha}$$

$d_{\alpha}$ : Dimension der irred. Darstellung

$$\chi^{\text{reg}}(g) = \sum_{\alpha} d_{\alpha} \chi^{(\alpha)}(g)$$

$\Rightarrow$

$$\text{für } g \neq E \quad \sum_{\alpha} d_{\alpha} \chi^{(\alpha)}(g) = 0$$

$$\text{für } g = E \quad \sum_{\alpha} d_{\alpha} \chi^{(\alpha)}(E) = \boxed{\sum_{\alpha} d_{\alpha}^2 = g}$$

### Konstruktion von Charaktertabelle

1) Bestimme Anzahl der Klasse  $n_{\alpha} = n_r$

2) Bestimme Dimension  $d_{\alpha}$  der irred. Darstellung

$$\sum_{\alpha=1}^{n_r} d_{\alpha}^2 = g$$

3) Verwende 1. Orthogonalität

$$\sum_{k=1}^{n_r} h_k \chi^{(\alpha)}(c_k)^* \chi^{(\beta)}(c_k) = g \delta_{\alpha\beta}$$



4) Verwende 2. Orthogonalität

$$\sum_{k=1}^{n_r} \chi^{(\alpha)}(c_k)^* \chi^{(\beta)}(c_k) = \delta_{ij} \frac{g}{h_i}$$

## Direkte Produktdarstellung

Erinnerung: Direktes Produkt zweier Matrizen<sup>1)</sup>

$A$ :  $m \times m$ -Matrix,  $B$ :  $n \times n$ -Matrix

→  $A \otimes B$  ist  $(mn) \times (mn)$ -Matrix mit

$$(A \otimes B)_{js, kt} = A_{jk} \cdot B_{st}$$

$$1 \leq j, k \leq m \quad ; \quad 1 \leq s, t \leq n$$

Zeile/Spalte der direkten Produktmatrix werden durch Doppelindizes  $(js)$  indiziert ( $m \cdot n$  versch. Werte)

$$B = B'$$

Bew.:  $(js, kt)$ -Element auf der rechten Seite:

$$(A A')_{jk} (B B')_{st} = \sum_{r=1}^m A_{jr} A'_{rk} \sum_{u=1}^n B_{su} B'_{ut}$$

$(js, kt)$ -Element auf der linken Seite:

$$[(A \otimes B)(A' \otimes B')]_{js, kt} = \sum_{r=1}^m \sum_{u=1}^n (A \otimes B)_{js, ru} \cdot (A' \otimes B')_{ru, kt}$$

$$= \sum_{r=1}^m \sum_{u=1}^n A_{jr} B_{su} A'_{rk} B'_{ut}$$

q. e. d.

1) Direktes Produkt:

$$\begin{pmatrix} A_{11} & A_{12} \\ A_{21} & A_{22} \end{pmatrix} \otimes \begin{pmatrix} B_{11} & B_{12} \\ B_{21} & B_{22} \end{pmatrix} = \begin{pmatrix} A_{11} \begin{pmatrix} B_{11} & B_{12} \\ B_{21} & B_{22} \end{pmatrix} & A_{12} \begin{pmatrix} B_{11} & B_{12} \\ B_{21} & B_{22} \end{pmatrix} \\ A_{21} \begin{pmatrix} B_{11} & B_{12} \\ B_{21} & B_{22} \end{pmatrix} & A_{22} \begin{pmatrix} B_{11} & B_{12} \\ B_{21} & B_{22} \end{pmatrix} \end{pmatrix}$$

Theorem: Seien  $\Gamma^{(P)}$  und  $\Gamma^{(Q)}$  zwei unitäre, irred. Darstellungen einer Gruppe  $G$  mit Dim.  $d_P$  bzw.  $d_Q$ . Dann bilde die Menge der Matrizen

$$\Gamma(g) = \Gamma^{(P)}(g) \otimes \Gamma^{(Q)}(g)$$

für alle  $g \in G$  eine unitäre Darstellung von  $G$  mit Dimension  $d_P \cdot d_Q$ . Dies ist die "direkte Produktdarstellung"  $\Gamma = \Gamma^{(P)} \otimes \Gamma^{(Q)}$ . Der Charakter dieser Darstellung ist geg. durch

$$\chi(g) = \chi^{(P)}(g) \chi^{(Q)}(g)$$

Bew.:  $\Gamma$  ist Darstellung

$$\begin{aligned} \Gamma(g_1) \Gamma(g_2) &= [\Gamma^{(P)}(g_1) \otimes \Gamma^{(Q)}(g_1)] \\ &\quad \cdot [\Gamma^{(P)}(g_2) \otimes \Gamma^{(Q)}(g_2)] \\ &= \Gamma^{(P)}(g_1 g_2) \otimes \Gamma^{(Q)}(g_1 g_2) \end{aligned}$$

Charakter von  $\Gamma$

$$\chi(g) = \sum_{j=1}^{d_P} \sum_{k=1}^{d_Q} [\Gamma^{(P)}(g) \otimes \Gamma^{(Q)}(g)]_{jj, kk}$$

$$= \sum_{j=1}^{d_P} \sum_{k=1}^{d_Q} \Gamma^{(P)}(g)_{jj} \Gamma^{(Q)}(g)_{kk}$$

$$= \chi^{(P)}(g) \chi^{(Q)}(g)$$

Im Allgemeinen ist die direkte Produktdarst. reduzibel,

$$\text{d.h. } \Gamma = \Gamma^{(P)} \otimes \Gamma^{(Q)} \cong \sum n_{pq}^r \Gamma^{(r)} \quad (*)$$

wobei  $n_{pq}^r$  angibt, wie oft die irred. Darst.  $\Gamma^{(r)}$

in der Reduktion von  $\Gamma^{(P)} \otimes \Gamma^{(Q)}$  auftritt.

Die rechte Seite von (\*) heißt "Clebsch-Gordan-Reihe" von  $\Gamma^{(P)} \otimes \Gamma^{(Q)}$

$\chi_{\Gamma}^*$  best. über

$$\begin{aligned}\chi_{\Gamma}^* &= \frac{1}{g} \sum_{g \in G} \chi(g) \chi^{(\Gamma)}(g)^* \\ &= \frac{1}{g} \sum_{g \in G} \chi^{(\Gamma)}(g) \chi(g) \chi^{(\Gamma)}(g)^*\end{aligned}$$

↙ s. Charaktertabel

Beispiel:  $C_{3v}$ , 2-dim. Def.  $\Gamma^{(3)} (= E)$ ,  $E \otimes E$

$$\chi^{(E \otimes E)}(e_1) = \chi^{(E)}(e_1) \chi^{(E)}(e_1) = 4$$

$$\chi^{(E \otimes E)}(e_2) = \chi^{(E)}(e_2) \chi^{(E)}(e_2) = 1$$

$$\chi^{(E \otimes E)}(e_3) = \chi^{(E)}(e_3) \chi^{(E)}(e_3) = 0$$

$$n_{33}^3 = \frac{1}{6} [4 \cdot 2 + 2(-1) + 3 \cdot 0] = 1$$

$$n_{33}^1 = \frac{1}{6} [4 \cdot 1 + 2 \cdot 1 + 0] = 1$$

$$n_{33}^2 = 1$$

22.5.07

## Gruppentheorie in der Quantenmechanik

1) Lösung der (Einteilchen-) Schrödingergleichung

stationäre 1-Teilchen SG:

$$\hat{H}(\vec{r}) \varphi(\vec{r}) = \epsilon \varphi(\vec{r})$$

Soll gelöst werden für unbekannte Eigenfunktion  
und Eigenwert  $\epsilon$

1. Ansatz: entwickle  $\psi$  in vollst. Basis

$$\psi(\vec{r}) = \sum_{j=1}^{\infty} a_j \psi_j(\vec{r})$$

Beide Serie ab, also

$$\psi(\vec{r}) \approx \sum_{j=1}^N a_j \psi_j(\vec{r})$$

(z.B. LCAO-Methode; atomare Basisfunktionen)

Ansatz in SG einsetzen, mit  $\psi_k^*$  multiplizieren.

Integrieren

$$\sum_{j=1}^N [\langle \psi_k | \hat{H} | \psi_j \rangle - \epsilon \langle \psi_k | \psi_j \rangle] a_j = 0$$

$\Rightarrow$  nur nichttriv. Lsg wenn

$$0 = \det [\langle \psi_k | \hat{H} | \psi_j \rangle - \epsilon \langle \psi_k | \psi_j \rangle]$$

$\Rightarrow$  Bedingung für Eigenwerte  $\epsilon$ , dann bestimmt man  $a_j$

Praktisches Problem: bessere Lsg für größere  $N$ , aber: der Aufwand zur Berechnung der Det + EW + EV wächst schnell mit größerem  $N$  (ungefähr  $N^3$ )

Erinnerung: Eigenfunktion  $\psi(\vec{r})$  transformiert wie eine<sup>1</sup> irred. Darstellung der Gruppe der SG

$$\hat{P}(\tau) \psi_i(\vec{r}) = \sum_{j=1}^{d_P} \Gamma^{(P)}(\tau)_{ji} \psi_j(\vec{r})$$

wobei  $d_P$  die Dimension von  $\Gamma^{(P)}$  ist und außerdem ist  $d_P$  gleich dem Entartungsgrad des zu  $\psi_i(\vec{r})$

gehörigen Eigenwerts  $\epsilon_i$   
irgendeine der Det.

Verwende diese Eigenschaft, um Diagonalisierung effizienter zu machen:

- ordne Basisfunktionen danach, dass sie sich wie die versch. irred. Darst. der Gruppe der SG transformieren

$\psi_j \rightarrow \psi_{jm}^p$  ( $\neq$ );  $m$  bezeichnet welches  $\phi = \phi_m$  dargestellt werden soll  
 $p$  bezeichnet die Det  $\Gamma^{(p)}$ , die zur Entwicklung verwendet wurde (siehe vorher. Seite)

$$\text{und } \hat{P}(\tau) \psi_{jm}^p = \sum_{l=1}^{d_p} \Gamma^{(p)}(\tau)_{lm} \psi_{jl}^p$$

$$\langle \psi_{kn}^q | \psi_{jm}^p \rangle = \delta_{qp} \delta_{nm} \langle \psi_{kn}^p | \psi_{jm}^p \rangle$$

ähnlich:

$$\langle \psi_{kn}^q | \hat{H} | \psi_{jm}^p \rangle = \delta_{qp} \delta_{nm} \langle \psi_{kn}^p | \hat{H} | \psi_{jm}^p \rangle$$

$$\langle \psi_{kn}^q | \hat{H} | \psi_{jm}^p \rangle = \langle P^{-1} \psi_{kn}^q | P H P^{-1} | P \psi_{jm}^p \rangle$$

$$= \frac{1}{g} \sum_{n \neq 1}^{d_q} \sum_{m=1}^{d_p} \underbrace{\sum_{\tau} \Gamma^{(q)}(\tau)_{in}^* \Gamma^{(p)}(\tau)_{im}}_{g \delta_{pq}}$$

$$= \frac{g}{d_p} \delta_{pq} \delta_{nm} \delta_{im}$$

$$= \delta_{qp} \delta_{nm} \frac{1}{d_p} \sum_{m=1}^{d_p} \langle \psi_{kn}^p | \hat{H} | \psi_{jm}^p \rangle$$

unabhängig  
von  $m$

$g = e.d.$

→ Vertausche Zeilen und Spalten in der Det. d.h. so, dass alle Terme die zu einer best. Zeile eine bestimmte irred. Darstellung gehören, zusammen gruppiert werden



definiert als

$$P_{mn}^{(P)} = \frac{d_p}{g} \sum_{T \in G} \Gamma_{mn}^{(P)*} \hat{P}(T) \quad \text{für } m, n = 1, \dots, d_p$$

bel Funktion  $f(\vec{r})$  zerlegt i. A. Komponente von Basisfkt. versch. irred. Darst.

$$\begin{aligned} f(\vec{r}) &= \sum_P \sum_{m=1}^{d_p} C_m^{(P)} \psi_m^{(P)}(\vec{r}) \\ P_{mn}^{(P)} f(\vec{r}) &= \frac{d_p}{g} \sum_{P'} \sum_{m'=1}^{d_{P'}} C_{m'}^{(P')} \sum_T \Gamma_{mn}^{(P)*}(T) \hat{P}(T) \psi_{m'}^{(P')}(\vec{r}) \\ &= \frac{d_p}{g} \sum_{P'} \sum_{m'=1}^{d_{P'}} C_{m'}^{(P')} \underbrace{\sum_{R=1}^{d_{P'}} \sum_T \Gamma_{mn}^{(P)*}(T) \Gamma_{m'n}^{(P')}(T)}_{g \delta_{PP'}} \psi_{m'}^{(P')}(\vec{r}) \\ &= \frac{g}{d_p} \delta_{PP'} \delta_{m'm'} \\ &= C_m^{(P)} \psi_m^{(P)}(\vec{r}) \end{aligned}$$

### Aufspaltung von Energieniveaus durch eine Störung

geg. sei  $\hat{H} = \hat{H}_0 + \hat{H}_1$

wobei die Symmetriegruppe von  $H_0$  sei  $G_0$

„ „ „ „ „  $H_1$  sei  $G_1$

wenn  $G_0 = G_1$ : Symmetrie unverändert, Eigenfkt. von  $\hat{H}_0$  sind Basis für dieselbe irred. Darstellung wie die Eigenfunktionen von  $\hat{H}$ , Energieeigenwerte werden nur verschoben, aber nicht aufgespalten

wenn  $H_1$  niedrigere Symmetrie als  $\hat{H}_0$  hat:

$\Rightarrow G_1$  ist eine Untergruppe von  $G_0$ . Sei  $\Gamma_0$  eine irred. Darstellung von  $G_0$  die zu einem entarteten, ungestörten Eigenzustand gehört.

$\Gamma_0$  ist Irrep von  $G_0$ , möglicherweise ~~nicht~~ ist  $\Gamma_0$  aber keine Irrep von  $G_1$

$\Rightarrow$  reduziere  $\Gamma_0 \xrightarrow{H_1} \underbrace{\Gamma_\alpha + \Gamma_\beta + \dots}_{\text{Ireps von } G_1}$

wenn diese Reduktion  $n$  irred. Dst. von  $G_1$  enthält  
 $\rightarrow$  entartetes, ungestörtes Niveau spaltet auf in  $n$  Eigenwerte, die Entartungen dieser neuen EW ist gegeben durch die Dimension der auftretenden Ireps von  $G_1$

Nachtrag (ST in der QM)

29.5.07

$d$ -fach entartete Eigenfunktionen  $\psi_i$  eines Hamiltonoperators transformieren wie  $d$ -dimensionale Darstellungen der Gruppe der SG

$$\hat{P}(\tau) \psi_i(\vec{r}) = \sum_{j=1}^d \Gamma(\tau)_{ji} \psi_j(\vec{r})$$

Fall 1:  $\Gamma$  ist irreduzibel,  $\Gamma(\tau) = \Gamma^{(d)}(\tau)$ ,  $d = d_f$   
 $\rightarrow$  Eigenwert ist  $d_f$ -fach entartet

Fall 2:  $\Gamma$  ist reduzibel

Ann. der Einfachheit halber:  $\Gamma = \Gamma^{(p)} \oplus \Gamma^{(q)} = \begin{pmatrix} \Gamma^{(p)} & 0 \\ 0 & \Gamma^{(q)} \end{pmatrix}$   
 $p \neq q$

$$\hat{P}(T) \psi_i(\vec{r}) = \begin{cases} \sum_{j=1}^{d_p} \Gamma^{(P)}(T)_{ji} \psi_j(\vec{r}) & i \leq d_p \\ \sum_{j=d_p+1}^{d_p+d_q} \Gamma^{(P)}(T)_{j-d_p, i-d_p} \psi_j(\vec{r}) & i > d_p \end{cases}$$

d.h.  $\psi_i$  transformiert entweder wie  $\Gamma^{(P)}$  oder wie  $\Gamma^{(Q)}$

Sei  $\psi_{km}^Q$  eine Basisfunktion der Irrep  $\Gamma^{(Q)}$

$$\langle \psi_{km}^Q | \hat{H} | \psi_{jn}^P \rangle = \sum_{pq} \delta_{nm} \frac{1}{d_p} \sum_{m=1}^{d_p} \langle \psi_{km}^P | \hat{H} | \psi_{jm}^P \rangle$$

unabl. von  $m$

$$H = \begin{pmatrix} \text{---} & 0 & 0 \\ 0 & \text{---} & 0 \\ 0 & 0 & \text{---} \end{pmatrix}$$

$q \downarrow \quad \downarrow p$

Eigenwert aus  $\det D(p, u) = 0$

$$[D(p, u)] = \langle \psi_{km}^P | \hat{H} | \psi_{jm}^P \rangle - \epsilon \langle \psi_{km}^P | \psi_{jm}^P \rangle$$

Fall 2:  $\det(D(p, u)) = 0$  liefert  $d_p$ -fach entart. EW

$\det(D(q, u)) = 0$  liefert  $d_q$ -fach entart. EW

im Fall 2 haben diese beide ~~gen.~~<sup>mind.</sup> eine gemeinsame Eigenwert.

I.A. gibt es keine "Symmetriegrund" für diese zusätzliche Entartung  $\Rightarrow$  "zufällige Entartung"

Wenn sich solche "zufällige Entartung" häuften, sollte man auf zusätzliche Symmetrien prüfen.

## Auswahlregeln: Dipolübergänge

Betrachte ein QM-System im zeitabhängigen el. Feld  $\vec{E}(t)$

$$\hat{H} = \hat{H}_0 + \hat{W}, \quad \hat{H}_0 \text{ sei zeitunabh.}$$

$$\hat{H}_0 \psi_{nrj}^{(0)}(\vec{r}) = E_{nr}^{(0)} \psi_{nrj}^{(0)}(\vec{r})$$

$n$ : Hauptquantenzahl  
 $r$ : Index für Irrred. Dst.  
 $j$ : Index für Partner der Irrred. Dst.

$$\hat{W} = \hat{W}(t) = -\hat{D} \vec{E}(t) \quad \text{mit} \quad \hat{D} = q \vec{r} \quad (\text{Dipolmoment})$$

$$\vec{E}(t) = \vec{e} E(t) \quad ; \quad \vec{e}: \text{Einheitsvektor in Polarisationsrichtung}$$

$$\text{Dipolmatrixelement: } \vec{D}_{mn} = \langle \psi_{mni}^{(0)} | \hat{D} | \psi_{nrj}^{(0)} \rangle$$

Übergangsrate ( $\hat{=}$  Übergangswahrsch. pro Zeiteinheit)

$$w_{mn} \sim |\vec{e} \cdot \vec{D}_{mn}|^2 |E(\omega)|^2$$

$$\omega = \omega_m - \omega_n \quad ; \quad \omega_m = \frac{E_m^{(0)}}{\hbar}$$

$$\text{Übergangswahrsch.} \quad E(\omega) = \frac{1}{2\pi} \int_{-\infty}^{\infty} dt E(t) e^{-i\omega t}$$

$\Rightarrow$  Übergänge sind nur möglich, wenn  $\vec{D}_{mn} \neq 0$

## Raman-Streuung

betrachte  $\vec{E}$ -Feld  $\vec{E}(t) = \vec{e} E_0 \cos(\omega t)$  mit Einheitsvektor

$\vec{e}$  in Polarisationsrichtung. Ann:  $\omega \neq \omega_m - \omega_n$  wobei

$\omega_m, \omega_n$  Frequenzen des ungest. Systems

$$i\hbar \frac{\partial}{\partial t} \psi_n(\vec{r}, t) = \hat{H}_0 \psi_n(\vec{r}, t) + \hat{W}(t) \psi_n(\vec{r}, t)$$

$$\hat{W}(t) = -\hat{D} \vec{E}(t)$$

$$\hat{H}_0 \psi_n^{(0)}(\vec{r}) = E_n^{(0)} \psi_n^{(0)}(\vec{r}) \quad \text{sei gelöst}$$

$$\text{Ansatz: } \psi_n(\vec{r}, t) = \psi_n^{(0)}(\vec{r}) e^{-i\omega_n t} + u_n^{(+)}(\vec{r}) e^{-i(\omega_n + \omega)t} + u_n^{(-)}(\vec{r}) e^{-i(\omega_n - \omega)t} + o(\omega^2)$$

Übung  $u_n^{(\pm)}(\vec{r}) = -\frac{E_0}{2\hbar} \sum_k \frac{\vec{e} \cdot \vec{D}_{nk}}{\omega_k \pm \omega} f_k^{(0)}(\vec{r})$  mit  $\omega_k = \omega_n - \omega_k$

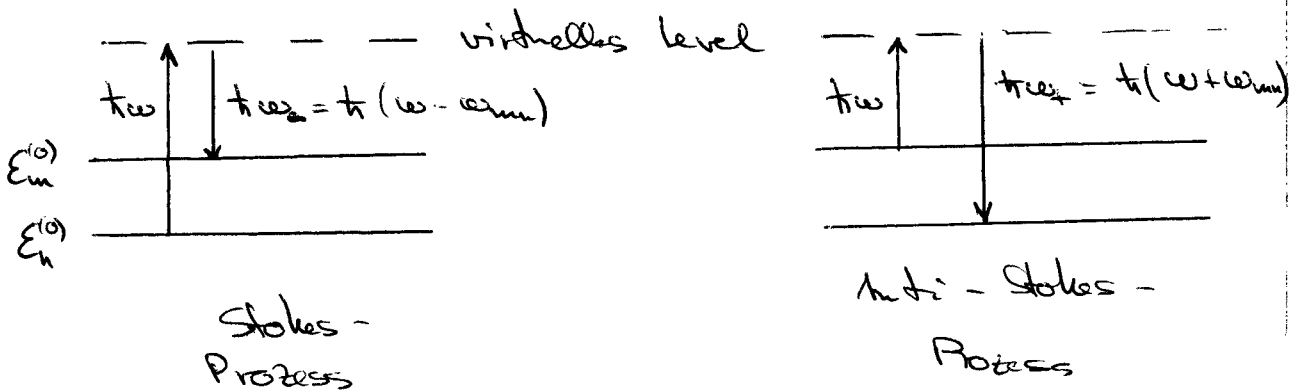
zeitabh. Dipolmoment

$$\vec{d}_{nn}(t) = \langle \psi_n(t) | \vec{D} | \psi_n(t) \rangle$$

$$= \vec{D}_{nn} e^{i\omega_n t} + \vec{D}_{nn}^{(+)} e^{i(\omega_n + \omega)t} + \vec{D}_{nn}^{(-)} e^{i(\omega_n - \omega)t}$$

$$\vec{D}_{nn}^{(\pm)} = -\frac{E_0}{2\hbar} \sum_k \left[ \frac{(\vec{e} \cdot \vec{D}_{nk}) \vec{D}_{kn}}{\omega_k \pm \omega} + \frac{(\vec{e} \cdot \vec{D}_{nk}^*) \vec{D}_{kn}^*}{\omega_k \mp \omega} \right]$$

$\vec{D}_{nn}^{(\pm)}$  beschreibt Übergänge bei versch. Frequenzen  $\omega_n \pm \omega$



Intensität:  $I^{(\pm)} \sim |\vec{D}_{nn}^{(\pm)}|^2$

für  $\omega \gg \omega_k, \omega_n$

$$\rightarrow [\vec{D}_{nn}^{(\pm)}]_i = \pm \frac{E_0}{2\hbar\omega^2} \left[ \sum_j e_j ((\omega_n + \omega) \langle \psi_n | D_j D_i | \psi_n^{(0)} \rangle - \frac{1}{\hbar} \langle \psi_n^{(0)} | D_i H_0 D_j + D_j H_0 D_i | \psi_n^{(0)} \rangle] \right]$$

Vereinfachung / Näherung ??? (nach Lehrbuch)

$$[\vec{D}_{nn}^{(\pm)}]_i = \pm \frac{E_0}{2\hbar\omega^2} \bar{\omega}(nn) \sum_j e_j \langle \psi_n^{(0)} | D_j D_i | \psi_n^{(0)} \rangle$$

Auswahlregel für Rana-Übergänge

untersuche ob  $\langle \psi_n^{(0)} | D_j | \psi_n^{(0)} \rangle = g^2 \langle \psi_n^{(0)} | x_j | \psi_n^{(0)} \rangle$   
 durch Symmetrie verschwindet.

Def.: Sei  $\hat{Q}_1^g, \hat{Q}_2^g, \dots$  ein Satz von  $dg$  linearen Operatoren, die auf Funktionen aus  $L^2$  wirken und folgende Gleichungen erfüllen:

$$\hat{P}(T) \hat{Q}_j^g \hat{P}(T)^{-1} = \sum_{k=1}^{dg} \Gamma^{(g)}(T)_{kj} \hat{Q}_k^g \quad \text{für } j=1, \dots, dg$$

und für jedes  $T$  der Gruppe  $G$  von Koordinatentransformationen. Dabei ist  $\Gamma^{(g)}$  eine irred. Darst. von  $G$  mit Dimension  $dg$ . Dann heien die  $\{\hat{Q}_1^g, \hat{Q}_2^g, \dots\}$  ein Satz von "irreduziblen Tensoroperatoren der irred. Darst.  $\Gamma^{(g)}$  von  $\mathfrak{g}$ ".

Bsp. für  $C_{2v}$

$\Sigma$  ist irred. Tensoroperator für irred. Darst.  $A_1$  (hier 1-Darst.)

$\Sigma x, \Sigma y$  sind irred. Tensorop. der irr. Darst.  $E = \Gamma^{(3)}$

Um zu sehen, ob Matrixelement  $\langle \psi_n^{(P)} | \hat{Q}_j^{(g)} | \psi_n^{(r)} \rangle$  aufgrund von Symmetrie verschwindet:

die Funktionen  $\hat{Q}_j^g \psi_n^{(r)}$  transformieren wie Basisfunktionen der Produktzerlegung  $\Gamma^{(g)} \otimes \Gamma^{(r)}$ .

Damit das Matrixelement nicht verschwindet, muss in der Reduktion von  $\Gamma^{(g)} \otimes \Gamma^{(r)}$  die irr. Darst.  $\Gamma^{(P)}$  mind. einmal auftreten

Bsp.:  $Z$  transformiert wie  $A_1$

$$\left. \begin{aligned} A_1 \otimes A_1 &= A_1 \\ A_1 \otimes A_2 &= A_2 \\ A_1 \otimes E &= E \end{aligned} \right\} \begin{array}{l} \text{Wicht polarisiert in } z\text{-Richtung} \\ \text{induziert Dipolübergänge zwischen} \\ \text{Zustände gleicher Symmetrie} \end{array}$$

5.6.07

Produktdarstellung zweier Irreps (Wdh.)

$$\Gamma^{(P)} \otimes \Gamma^{(Q)} \underset{\substack{\approx \\ \uparrow \\ \text{äquiv.}}}{\cong} \sum_{\Gamma} \oplus n_{PQ}^{\Gamma} \Gamma^{(\Gamma)}$$

Äquivalenz: es gibt Transf. zw beide Dst., d.h. alternativ kann man schreiben

$$C^{-1} (\Gamma^{(P)} \otimes \Gamma^{(Q)}) C = \left( \begin{array}{ccc|ccc} \Gamma^{(1)} & & & & & \\ & \Gamma^{(1)} & & & & \\ & & & 0 & & \\ \hline & & & & \Gamma^{(2)} & \\ & & & & & \ddots \end{array} \right) \left. \begin{array}{l} \} n_{PQ}^1 \\ \} n_{PQ}^2 \\ \} \dots \end{array} \right.$$

Wenn  $\Gamma$  unitär dann ist auch  $C$  unitär, dimension  $d_p \cdot d_q$

Schreibe Matrixelement von  $C^{-1}$  als

$$\left( \begin{array}{cc|cc} \Gamma & \alpha & P & Q \\ \hline \ell & & j & k \end{array} \right) \quad \begin{array}{l} j=1 \dots d_p \\ k=1 \dots d_q \end{array} \quad \begin{array}{l} \ell=1 \dots d_r \\ \alpha=1 \dots n_{PQ}^{\Gamma} \end{array}$$

↑  
kollektiver Index:  
 $d_p \cdot d_q$  versch. Werte  
Clebsch-Gordan-Koeffizient

$$C \text{ unitär, hermitesch (!)} \quad \left( \begin{array}{cc|cc} P & Q & \Gamma & \alpha \\ \hline j & k & \ell & \alpha' \end{array} \right)^{\dagger} = \left( \begin{array}{cc|cc} \Gamma & \alpha & P & Q \\ \hline \ell & & j & k \end{array} \right)$$

$$\sum_{j_1, k_1}^{d_p, d_q} \left( \begin{array}{cc|cc} \Gamma & \alpha & P & Q \\ \hline \ell & & j_1 & k_1 \end{array} \right) \left( \begin{array}{cc|cc} P & Q & \Gamma & \alpha' \\ \hline j_1 & k_1 & \ell & \alpha' \end{array} \right) = \delta_{\alpha\alpha'} \delta_{\ell\ell'} \quad (\text{Orth 1})$$

$$\sum_{\ell_1, \alpha_1}^{d_r, n_{PQ}^{\Gamma}} \left( \begin{array}{cc|cc} P & Q & \Gamma & \alpha \\ \hline j_1 & k_1 & \ell_1 & \alpha_1 \end{array} \right)^{\dagger} \left( \begin{array}{cc|cc} \Gamma & \alpha & P & Q \\ \hline \ell_1 & & j_1 & k_1 \end{array} \right) = \delta_{j_1 j_1'} \delta_{k_1 k_1'} \quad (\text{Orth 2})$$



### Wigner-Eckart-Theorem

Sei  $\mathcal{G}$  eine endliche Gruppe (Ordnung  $g$ ) von Koordinatentransformationen in  $\mathbb{R}^3$  und seien  $\Gamma^{(p)}$ ,  $\Gamma^{(q)}$  und  $\Gamma^{(r)}$  unitäre, irreduzible Darstellungen von  $\mathcal{G}$  mit Dimension  $d_p$ ,  $d_q$  bzw.  $d_r$ . Weiterhin seien  $\Phi_j^p(\mathbf{r})$ ,  $j = 1, \dots, d_p$  und  $\Psi_l^r(\mathbf{r})$ ,  $l = 1, \dots, d_r$  Sätze von Basisfunktionen von  $\Gamma^{(p)}$  bzw.  $\Gamma^{(r)}$ . Weiterhin sei  $\hat{Q}_k^q$ ,  $k = 1, \dots, d_q$  ein Satz von irreduziblen Tensoroperatoren von  $\Gamma^{(q)}$ . Dann gilt

$$\langle \Psi_l^r | \hat{Q}_k^q | \Phi_j^p \rangle = \sum_{\alpha=1}^{n_{pq}^r} \left( \begin{array}{cc|cc} p & q & r & \alpha \\ j & k & l & \end{array} \right)^* \langle \langle r | \hat{Q}^q | p \rangle \rangle_{\alpha} \quad (1)$$

für alle  $j = 1, \dots, d_p$ ,  $k = 1, \dots, d_q$  und  $l = 1, \dots, d_r$  und die  $\langle \langle r | \hat{Q}^q | p \rangle \rangle_{\alpha}$  sind "reduzierte Matrixelemente", die unabhängig sind von  $j$ ,  $k$  und  $l$ .

**Beweis:**

Wir betrachten zunächst Matrixelemente der Produktdarstellung für Gruppenelement  $T$  (mit  $k, j = 1, \dots, d_p$  und  $t, s = 1, \dots, d_q$ )

$$\begin{aligned} (\Gamma^{(p)}(T) \otimes \Gamma^{(q)}(T))_{kt, js} &= \Gamma^{(p)}(T)_{kj} \Gamma^{(q)}(T)_{ts} \\ &= \sum_{k', t', j', s'} C_{kt, k't'} \left( \sum_r^{\oplus} n_{pq}^r \Gamma^{(r)}(T) \right)_{k't', j's'} (C^{-1})_{j's', js} \end{aligned} \quad (2)$$

Wir ersetzen die kollektiven Indizes  $(k't')$  durch  $(r_1 \alpha_1 l_1)$  und  $(j's')$  durch  $(r_2 \alpha_2 l_2)$ . Dann wird das Matrixelement der Blockdiagonaldarstellung

$$\left( \sum_r^{\oplus} n_{pq}^r \Gamma^{(r)}(T) \right)_{r_1 \alpha_1 l_1, r_2 \alpha_2 l_2} = \delta_{r_1 r_2} \delta_{\alpha_1 \alpha_2} \Gamma^{(r_1)}(T)_{l_1 l_2} \quad (3)$$

Identifiziert man schließlich die Matrixelemente der Transformationsmatrix  $C$  noch mit den Clebsch-Gordan-Koeffizienten, so erhält man

$$(\Gamma^{(p)}(T) \otimes \Gamma^{(q)}(T))_{kt, js} = \sum_{r\alpha} \sum_{l_1 l_2} \left( \begin{array}{cc|cc} p & q & r & \alpha \\ k & t & l_1 & \end{array} \right)^* \Gamma^{(r)}(T)_{l_1 l_2} \left( \begin{array}{cc|cc} r & \alpha & p & q \\ l_2 & & j & s \end{array} \right) \quad (4)$$

Für den Beweis des Wigner-Eckart-Theorems schreiben wir

$$\begin{aligned} \langle \Psi_l^r | \hat{Q}_k^q | \Phi_j^p \rangle &= \frac{1}{g} \sum_{T \in \mathcal{G}} \langle \hat{P}(T) \Psi_l^r | \hat{P}(T) \hat{Q}_k^q \hat{P}(T)^{-1} | \hat{P}(T) \Phi_j^p \rangle = \\ &= \frac{1}{g} \sum_{T \in \mathcal{G}} \left\langle \hat{P}(T) \Psi_l^r \left| \left( \sum_{j_1=1}^{d_q} \Gamma^{(q)}(T)_{j_1 k} \hat{Q}_{j_1}^q \right) \left| \left( \sum_{m=1}^{d_p} \Gamma^{(p)}(T)_{m j} \Phi_m^p \right) \right. \right\rangle \end{aligned} \quad (5)$$

*← 1 einziehen*

Für das Produkt der Matrixelemente  $\Gamma^{(p)}(T)_{mj} \Gamma^{(q)}(T)_{j_1 k}$  verwenden wir jetzt Glg.(4) und nochmal das Verhalten einer Basisfunktion unter Koordinatentransformation. Das

ergibt

$$\begin{aligned} \langle \Psi_l^r | \hat{Q}_k^q | \Phi_j^p \rangle &= \frac{1}{g} \sum_{T \in \mathcal{G}} \sum_{j_1=1}^{d_q} \sum_{m=1}^{d_p} \sum_{r_1, \alpha} \sum_{l_1, l_2} \begin{pmatrix} p & q & | & r_1 & \alpha \\ m & j_1 & | & l_1 & \alpha \end{pmatrix} \Gamma^{(r_1)}(T)_{l_1 l_2} \begin{pmatrix} r_1 & \alpha & | & p & q \\ l_2 & \alpha & | & j & k \end{pmatrix} \\ &\quad \sum_{j_2=1}^{d_r} \Gamma^{(r)}(T)_{j_2 l}^* \langle \Psi_{j_2}^r | \hat{Q}_{j_1}^q | \Phi_m^p \rangle \end{aligned} \quad (6)$$

Jetzt verwenden wir das Große Orthogonalitätstheorem

$$\sum_{T \in \mathcal{G}} \Gamma^{(r)}(T)_{j_2 l}^* \Gamma^{(r_1)}(T)_{l_1 l_2} = \frac{g}{d_r} \delta_{rr_1} \delta_{j_2 l_1} \delta_{ll_2} \quad (7)$$

und erhalten

$$\langle \Psi_l^r | \hat{Q}_k^q | \Phi_j^p \rangle = \frac{1}{d_r} \sum_{j_1=1}^{d_q} \sum_{m=1}^{d_p} \sum_{j_2=1}^{d_r} \sum_{\alpha} \begin{pmatrix} p & q & | & r & \alpha \\ m & j_1 & | & j_2 & \alpha \end{pmatrix} \begin{pmatrix} r & \alpha & | & p & q \\ l & \alpha & | & j & k \end{pmatrix} \langle \Psi_{j_2}^r | \hat{Q}_{j_1}^q | \Phi_m^p \rangle \quad (8)$$

Nun kann man das reduzierte Matrixelement definieren als

$$\langle \langle r | \hat{Q}^q | p \rangle \rangle_{\alpha} = \frac{1}{d_r} \sum_{j_1=1}^{d_q} \sum_{m=1}^{d_p} \sum_{j_2=1}^{d_r} \begin{pmatrix} p & q & | & r & \alpha \\ m & j_1 & | & j_2 & \alpha \end{pmatrix} \langle \Psi_{j_2}^r | \hat{Q}_{j_1}^q | \Phi_m^p \rangle \quad (9)$$

das unabhängig ist von  $j$ ,  $k$  und  $l$ . Mit der Unitarität der Clebsch-Gordan-Koeffizienten

$$\begin{pmatrix} r & \alpha & | & p & q \\ l & \alpha & | & j & k \end{pmatrix} = \begin{pmatrix} p & q & | & r & \alpha \\ j & k & | & l & \alpha \end{pmatrix}^* \quad (10)$$

ergibt sich dann Glg. (1).

# Rotationsgruppe

## Kontinuierliche Gruppen

Beispiele:

Zur Erinnerung: Gruppenaxiome

- 1) Multiplikation
- 2) Assoziativgesetz
- 3) Identität
- 4) Inverses

a) Gruppe  $U(N)$   $N \geq 1$  ("Unitäre Gruppe")

Menge aller unitären  $N \times N$ -Matrizen

$$U^\dagger U = 1 \quad \det U^\dagger \det U = (\det U)^2 = 1$$

$$\rightarrow \det U = e^{i\alpha}, \quad \alpha \in \mathbb{R}$$

b) Gruppe  $SU(N)$   $N \geq 1$  ("Spezielle unitäre Gruppe")

$$\det U = 1$$

c)  $O(N)$  Gruppe aller reellen orthogonalen  $N \times N$ -Matrizen

$$\text{mit } \det R = \pm 1$$

d)  $SO(N)$  Spez. orthogonale Gruppe

$$\det R = +1$$

## Kontinuierliche Gruppe der Dimension $n$

1) Jedes Gruppenelement wird durch  $n$  Parameter eindeutig

$$\text{charakterisiert } T(\alpha_1 \dots \alpha_n) = T(\alpha)$$

2) Die Parameter  $\{\alpha_i\}$  sind reell und kontinuierlich

3) Es ist nicht möglich, jedes Gruppenelement durch weniger als  $n$  Parameter eindeutig zu charakterisieren.

4) Die Gruppenaxiome gelten wie für endliche Gruppe, z.B.

$$T(\gamma) = T(\alpha)T(\beta) \in \mathfrak{g} \text{ wenn } T(\alpha), T(\beta) \in \mathfrak{g}$$

$$\gamma_k = \phi_k(\alpha_1, \dots, \alpha_n, \beta_1, \dots, \beta_n) \text{ eindeutige Fkt. der } \alpha_i, \beta_i$$

Der Einfachheit halber soll das Einselement gegeben sein durch  $\alpha_1 = \alpha_2 = \dots = \alpha_n = 0$

### Lie-Gruppen

die Funktionen  $\phi_k$  (s.o.) sind analytisch, d.h. bel. oft differenzierbar bezüglich der Parameter

Bsp.:  $SU(2)$  allgemeinste Form einer speziellen unitären  $2 \times 2$  Matrix

$$u = \begin{pmatrix} a & b \\ -b^* & a^* \end{pmatrix} \quad a, b \in \mathbb{C}$$

### Rotationen

Sei  $R_\vartheta(\vec{n})$  eine Rotation um den Winkel  $\vartheta$  und die Achse, die durch den Einheitsvektor  $\vec{n} = \begin{pmatrix} n_1 \\ n_2 \\ n_3 \end{pmatrix}$  definiert wird. Dabei soll  $\vartheta > 0$  für rechtshändige Rotation sein.

$$R_\vartheta(\vec{n}) = R_{(2\pi - \vartheta)}(-\vec{n}) \rightarrow \text{Wertebereich von } \vartheta \text{ kann eingeschränkt werden}$$
$$0 \leq \vartheta \leq \pi$$

"Produkt":  $R_{\vartheta_3}(\vec{n}_3) = R_{\vartheta_2}(\vec{n}_2) R_{\vartheta_1}(\vec{n}_1)$

Die Menge aller Rotationen  $R_\vartheta(\vec{n})$  bilden eine Gruppe, die "Rotationsgruppe"

## Rotationen und Eulerwinkel

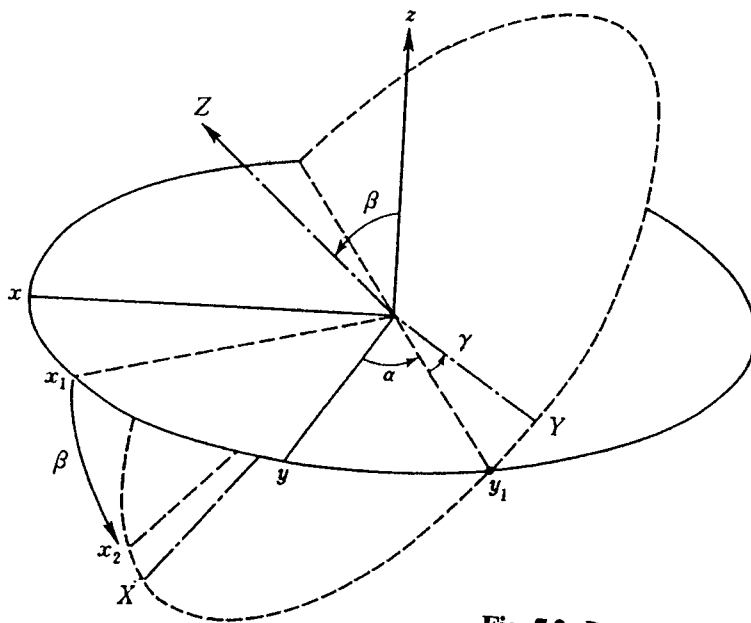
Jede Rotation kann als Ergebnis von 3 aufeinanderfolgenden Rotationen betrachtet werden:

1) Rotation  $R_z(z)$  um Winkel  $\alpha$  um die  $z$ -Achse

Achsen:  $x \rightarrow x_1$ ,  $y \rightarrow y_1$ ,  $z \rightarrow z_1 = z$

2) Rotation  $R_{y_1}(y_1)$  um Winkel  $\beta$  um die  $y_1$ -Achse

$x_1 \rightarrow x_2$ ,  $y_1 \rightarrow y_2$ ,  $z_1 \rightarrow z_2$



$\alpha \rightarrow \beta \rightarrow \gamma$

Fig. 7.2. Rotation and Euler angles

beachte:  $R_{y_1}(y_1) = R_z(z) R_{y_1}(y) R_z(z)^{-1}$

3) Rotation  $R_{z_2}(z_2)$  um Winkel  $\gamma$  um die  $z_2$ -Achse

$$R_{z_2}(z_2) = R_{y_1}(y_1) R_{z_2}(z_2) R_{y_1}(y_1)^{-1}$$

Achsen:  $x_2 \rightarrow X$ ,  $y_2 \rightarrow Y$ ,  $z_2 \rightarrow z = z$

$\Rightarrow$  allgemeine Rotation

$$R(\alpha, \beta, \gamma) = R_{z_2}(z_2) R_{y_1}(y_1) R_z(z)$$

$$= R_{y_1}(y_1) \underbrace{R_z(z)}_{R_z(z)} \underbrace{R_{y_1}(y_1)^{-1} R_{y_1}(y_1)}_1 R_z(z)$$

$$\begin{aligned}
 &= R_\alpha(z) R_\beta(y) R_\alpha(z)^{-1} R_x(z) R_\alpha(z) \\
 &= R_\alpha(z) R_\beta(y) R_\alpha(z)
 \end{aligned}$$

12.06.07

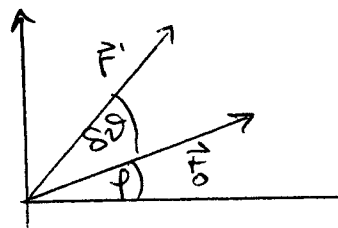
## Generatoren der Rotationsgruppe

Betrachte eine Rotation einer Funktion  $f(\vec{r})$  um die  $z$ -Achse um infinitesimalen Winkel  $\delta\theta$

$$\hat{P}(R_{\delta\theta}(\vec{e}_z)) f(\vec{r}) = f(R_{\delta\theta}^{-1}(\vec{e}_z) \vec{r})$$

$$\vec{r}' = R_{\delta\theta}(\vec{e}_z) \vec{r}$$

$$\vec{r}' = \begin{pmatrix} r_0 \cos(\varphi + \delta\theta) \\ r_0 \sin(\varphi + \delta\theta) \\ z_0 \end{pmatrix}$$



$$\vec{r}' = \begin{pmatrix} r_0 \cos \varphi \\ r_0 \sin \varphi \\ z_0 \end{pmatrix}$$

$$\approx \begin{pmatrix} r_0 \cos \varphi - \delta\theta r_0 \sin \varphi \\ r_0 \sin \varphi + \delta\theta r_0 \cos \varphi \\ z_0 \end{pmatrix} = \underbrace{\begin{pmatrix} 1 & -\delta\theta & 0 \\ \delta\theta & 1 & 0 \\ 0 & 0 & 1 \end{pmatrix}}_{R_{\delta\theta}(\vec{e}_z)} \vec{r}$$

$$\begin{aligned}
 R_{\delta\theta}^{-1}(\vec{e}_z) \vec{r} &= \begin{pmatrix} 1 & \delta\theta & 0 \\ -\delta\theta & 1 & 0 \\ 0 & 0 & 1 \end{pmatrix} \begin{pmatrix} x \\ y \\ z \end{pmatrix} \\
 &= \begin{pmatrix} x + \delta\theta y \\ -x \delta\theta + y \\ z \end{pmatrix}
 \end{aligned}$$

$$f(R_{\delta\theta}^{-1}(\vec{e}_z) \vec{r}) = f(x + \delta\theta y, y - \delta\theta x, z)$$

$$\begin{aligned}
 &\approx f(x, y, z) + \delta\theta y \left. \frac{\partial f}{\partial x} \right|_{x,y,z} - \delta\theta x \left. \frac{\partial f}{\partial y} \right|_{x,y,z} \\
 &= \left[ 1 + \delta\theta \left( y \frac{\partial}{\partial x} - x \frac{\partial}{\partial y} \right) \right] f(x, y, z)
 \end{aligned}$$

vgl. Def.:  $\hat{L}_2 = -i \left( x \frac{\partial}{\partial y} - y \frac{\partial}{\partial x} \right) \quad \hbar = 1$

$\Rightarrow f(R_{SO}^{-1}(\vec{e}_2) \vec{r}) = (1 - i \delta \theta \hat{L}_2) f(x, y, z)$

jetzt: Rotation um endliche Winkel  $\vartheta$ :  $n$  aufeinanderfolgende Rotationen um  $\delta \vartheta$  und Grenzwert  $n \rightarrow \infty$

$$f(R_{SO}^{-1} \vec{r}) = \lim_{n \rightarrow \infty} (1 - i \delta \vartheta \hat{L}_2)^n f(\vec{r})$$

$$= \lim_{n \rightarrow \infty} \left( 1 - \frac{i \vartheta}{n} \hat{L}_2 \right)^n f(\vec{r})$$

$$= \exp(-i \vartheta \hat{L}_2) f(\vec{r})$$

Operator einer z-Achse um Winkel  $\vartheta$

$$\exp(\hat{A}) = 1 + \hat{A} + \frac{1}{2!} \hat{A}^2 + \dots$$

allg. Rotation um Achse  $\vec{u} = \begin{pmatrix} u_1 \\ u_2 \\ u_3 \end{pmatrix}$  um Winkel  $\vartheta$

$$\Rightarrow \text{Rotationsoperator } R_{SO}(\vec{u}) = \exp(-i \vec{u} \cdot \hat{L})$$

$$\hat{L} = -i \begin{pmatrix} z \frac{\partial}{\partial y} - y \frac{\partial}{\partial x} \\ x \frac{\partial}{\partial z} - z \frac{\partial}{\partial x} \\ x \frac{\partial}{\partial y} - y \frac{\partial}{\partial x} \end{pmatrix}$$

mit den Eulerwinkeln (besser als Beschreibung durch  $\vec{u}$ )

$$R(\alpha, \beta, \gamma) = \exp(-i \alpha \hat{L}_z) \exp(-i \beta \hat{L}_y) \exp(-i \gamma \hat{L}_z)$$

Die Operatoren sind die Generatoren der Rotationsgruppe

Die Relationen  $[\hat{L}_i, \hat{L}_j] = i \sum_k \epsilon_{ijk} \hat{L}_k$  heißen die "Lie-Algebren" der Rotationsgruppe.

Def: Ein Casimir-Operator  $\hat{C}$  einer Lie-Gruppe ist ein Operator, der mit allen Erzeugenden der Lie-Gruppe vertauscht

Einfachster Casimir-Operator d. Rotationsgruppe

$$\hat{L}^2 = \hat{L}_x^2 + \hat{L}_y^2 + \hat{L}_z^2$$

$$\Rightarrow [\hat{L}^2, R] = 0$$

### Darstellungen der Rotationsgruppe

geg. sind die fundamentalen Drehimpulsvertauschungsrelationen

$$[\hat{J}_j, \hat{J}_k] = i \sum_l \epsilon_{jkl} \hat{J}_l$$

Die Darstellungsmatrizen  $\Gamma(\alpha, \beta, \gamma)$  die zu einer Rotation  $R$  korrespondieren, sind geg. als Matrixelemente des Rotationsoperators

$$\Gamma^{(j)}(\alpha, \beta, \gamma)_{MM'} = \langle j, M | R(\alpha, \beta, \gamma) | j, M' \rangle$$

mit Drehimpuls-Eigenzuständen  $|j, M\rangle$

$$\hat{J}^2 |j, M\rangle = j(j+1) |j, M\rangle ; j = 0, \frac{1}{2}, 1, \frac{3}{2}, \dots$$

$$\hat{J}_z |j, M\rangle = M |j, M\rangle \quad -j \leq M \leq j$$

Zur Erinnerung: Leiteroperatoren  $\hat{J}_{\pm} = \hat{J}_x \pm i \hat{J}_y$

$$\text{Matrixelement } \langle j, M' | \hat{J}_{\pm} | j, M \rangle = \sqrt{(j \mp M)(j \pm M + 1)} \delta_{j, j'} \delta_{M', M \pm 1}$$

$$\langle j, M' | \hat{J}_z | j, M \rangle = M \delta_{j, j'} \delta_{M', M}$$

$$\Gamma^{(\delta)}(\alpha, \beta, \gamma)_{nn'} = \langle \mathcal{J}M | e^{-i\alpha \hat{J}_z} e^{-i\beta \hat{J}_y} e^{-i\gamma \hat{J}_z} | \mathcal{J}M' \rangle$$

$$= \exp(-i(\alpha + \gamma)M) \Gamma^{(\delta)}(\beta)_{nn'}$$

$$\Gamma^{(\delta)}_{nn'} = \langle \mathcal{J}M | \exp(-i\beta \hat{J}_y) | \mathcal{J}M' \rangle$$

$$\hat{J}_y = \frac{1}{2i} (\hat{J}_+ - \hat{J}_-)$$

ohne Beweis:

$$\Gamma^{(\delta)}(\beta)_{nn'} = (-1)^{n-n'} \sqrt{\frac{(\delta+n)!}{(\delta-n)! (\delta+n)! (\delta-n)!}}$$

$$\cdot \xi^{-\frac{1}{2}(n-n')} (1-\xi)^{-\frac{1}{2}(n+n')}$$

$$\text{d.h.} \quad \left( \frac{d}{d\xi} \right)^{\delta-n} \left[ \xi^{\delta-n'} (1-\xi)^{\delta+n'} \right]$$

$$\text{mit } \xi = \sin^2\left(\frac{\beta}{2}\right)$$

Bsp.:  $\delta = \frac{1}{2}$

$$\Gamma^{(\frac{1}{2})}(\alpha, \beta, \gamma) = \begin{pmatrix} \exp(-i\frac{\alpha+\gamma}{2}) \cos\left(\frac{\beta}{2}\right) & -\exp(-i\frac{\alpha-\gamma}{2}) \sin\left(\frac{\beta}{2}\right) \\ \exp(i\frac{\alpha-\gamma}{2}) \sin\left(\frac{\beta}{2}\right) & \exp(+i\frac{\alpha+\gamma}{2}) \cos\left(\frac{\beta}{2}\right) \end{pmatrix}$$

Rotationen  $R(\alpha, \beta, \gamma)$  und  $R(\alpha, \beta, \gamma + 2\pi)$  d.h. selbe geom. Operation führt zu zwei verschiedenen Darstellungsmatrizen

$$\Gamma^{(\frac{1}{2})}(R(\alpha, \beta, \gamma + 2\pi)) = -\Gamma^{(\frac{1}{2})}(R(\alpha, \beta, \gamma))$$

d.h. die Dst. ist doppelwertig

Diese Doppelwertigkeit ist allg. Eigenschaft von Dst.

die zu halbzahligen  $J$  gehören

Kugelflächenfunktionen als Basis der Rotationsgruppe

Sei  $J = L$  eine nichtnegative ganze Zahl

$$\begin{aligned} \Gamma^{(L)}(R(\alpha, \beta, \gamma))_{M0}^{\dagger} &= [\langle LM | \exp(-i\alpha \hat{L}_z) \exp(-i\beta \hat{L}_y) \exp(-i\gamma \hat{L}_z) | L0 \rangle]^{\dagger} \\ &= \exp(i\alpha M) \underbrace{[\langle LM | \exp(-i\beta \hat{L}_y) | L0 \rangle]^{\dagger}}_{\Gamma^{(L)}(\beta)_{M0}^{\dagger}} \end{aligned}$$

für  $M \geq 0$ :  $\Gamma^{(L)}(\beta)_{MM} = (-1)^{M-M'} \Gamma^{(L)}(\beta)_{-M, -M'}$

$$\begin{aligned} \Gamma^{(L)}(R(\alpha, \beta, \gamma))_{M0}^{\dagger} &= e^{i\alpha M} (-1)^M \langle L^{-M} | \exp(-i\beta \hat{L}_y) | L, 0 \rangle^{\dagger} \\ &= \exp(i\alpha M) \sqrt{\frac{(L-M)!}{(L+M)!}} \frac{1}{L!} \int_0^{\pi/2} \left(\frac{d}{d\xi}\right)^{L+M} \left[ \int_0^1 (1-\xi)^L \right] d\xi \end{aligned}$$

So. (ohne Beweis)

$$\xi = \sin^2\left(\frac{\beta}{2}\right) = \frac{1}{2}(1 - \cos\beta) \Rightarrow \frac{d}{d\xi} = \frac{d \cos(\beta)}{d \sin^2(\frac{\beta}{2})} = -2 \frac{d}{d(\cos\beta)}$$

$$\xi^{M/2} (1-\xi)^{M/2} = \left[ \sin\left(\frac{\beta}{2}\right) \cos\left(\frac{\beta}{2}\right) \right]^M = \frac{(\sin\beta)^M}{2^M}$$

$$\int_0^1 (1-\xi)^L = \frac{1}{2^{2L}} (\sin\beta)^{2L} \quad (\sin\beta)^{M/2}$$

$$\begin{aligned} \Gamma^{(L)}(R(\alpha, \beta, \gamma))_{M0}^{\dagger} &= \exp(i\alpha M) (-1)^M \sqrt{\frac{(L-M)!}{(L+M)!}} \frac{1}{2^L} \frac{1}{L!} \left(\frac{d}{d \cos\beta}\right)^{L+M} \\ &\quad \cdot (\cos^2\beta - 1)^L \\ &\quad \underbrace{\hspace{10em}}_{Y_{LM}(\beta, \alpha)} \end{aligned}$$

$$= \sqrt{\frac{L!}{2^{L+1}}} Y_{LM}(\beta, \alpha)$$



## Charaktere der Darstellungen

Zur Erinnerung: Rotation um Winkel  $\gamma$  um  $z_2 = z$

$$R_\gamma(z_2) = R_\beta(\gamma_1) R_\gamma(z_1) R_\beta(\gamma_1)^{-1}$$

$\Rightarrow$  Rotation  $R_\gamma(z_2)$  ist konjugiert zu einer Rotation  $R_\gamma(z_1)$

allgemeiner:

In der Rotationsgruppe sind Rotationen um denselben Winkel immer zueinander konjugiert, unabhängig von der Rotationsachse.

$\Rightarrow$  Charakter einer Darstellungsmatrix aus Darstellungsmatrix für Rotation um  $z$ -Achse

$$\begin{aligned} \chi^{(\delta)}(\vartheta) &= \sum_{M=-\delta}^{+\delta} \Gamma^{(\delta)}(R(\kappa=\vartheta, \beta=0, \gamma=0))_{MM} \\ &= \sum_{M=-\delta}^{+\delta} e^{-i\vartheta M} = \frac{\sin\left(\frac{2\delta+1}{2}\vartheta\right)}{\sin\left(\frac{\vartheta}{2}\right)} \end{aligned}$$

Beweis per Induktion

$$\sum_{M=-M_0}^{+M_0} e^{-iM\vartheta} = \frac{\sin\left(\frac{2M_0+1}{2}\vartheta\right)}{\sin\left(\frac{\vartheta}{2}\right)}$$

a)  $M_0 = 0 \quad \checkmark$

b)  $M_0 = \frac{1}{2}$

$$\Rightarrow 2 \cos\left(\frac{\vartheta}{2}\right) = \frac{\sin(\vartheta)}{\sin\left(\frac{\vartheta}{2}\right)} = \frac{2 \sin \frac{\vartheta}{2} \cos \frac{\vartheta}{2}}{\sin \frac{\vartheta}{2}}$$

$M_0 \rightarrow M_0 + 1$  (Induktionsschritt)

$$\begin{aligned} \sum_{n=-(M_0+1)}^{M_0+1} e^{-i n \vartheta} &= \sum_{n=M_0}^{+M_0} e^{-i n \vartheta} + 2 \cos((M_0+1) \vartheta) \\ &= \frac{\sin\left(\frac{2(M_0+1) \vartheta}{2}\right)}{\sin\left(\frac{\vartheta}{2}\right)} + \frac{2 \cos((M_0+1) \vartheta) \sin\left(\frac{\vartheta}{2}\right)}{\sin\left(\frac{\vartheta}{2}\right)} \end{aligned}$$

$$\begin{aligned} \sum_{n=-(M_0+1)}^{M_0+1} e^{-i n \vartheta} &= \frac{1}{\sin\left(\frac{\vartheta}{2}\right)} \left[ \sin\left((M_0+\frac{1}{2}) \vartheta\right) + 2 \cdot \frac{1}{2} (\sin(-(M_0+\frac{1}{2}) \vartheta) \right. \\ &\quad \left. + \sin((M_0+\frac{3}{2}) \vartheta)) \right] \\ &= \frac{\sin\left(\frac{2(M_0+1)+1}{2} \vartheta\right)}{\sin\left(\frac{\vartheta}{2}\right)} \end{aligned}$$

□

### Direkte Produktdarstellung und die Clebsch-Gordan-Serie

Theorem:

Die Clebsch-Gordan-Serie für das direkte Produkt zweier irreduzibler Darstellungen der Rotationsgruppe  $(\Gamma(j_1) \otimes \Gamma(j_2))$  lautet

$$\Gamma(j_1) \otimes \Gamma(j_2) \cong \Gamma(|j_1 - j_2|) \oplus \Gamma(|j_1 - j_2| + 1) \oplus \dots \oplus \Gamma(j_1 + j_2)$$

d.h.: Jede irreduzible Darstellung  $\Gamma(j)$  mit  $|j_1 - j_2| \leq j \leq j_1 + j_2$  taucht in der Reduktion von  $\Gamma(j_1) \otimes \Gamma(j_2)$  genau einmal auf

## Die direkte Produkt-Gruppe und ihre Irreps

Gegeben seien zwei endliche Gruppen  $A = \{A_1 = E_A, A_2, \dots, A_{g_A}\}$   
(Ordnung  $g_A$ ) und  $B = \{B_1 = E_B, B_2, \dots, B_{g_B}\}$

für die alle Elemente aus  $A$  mit allen Elementen aus  $B$  vertauschen.

$$A_i B_j = B_j A_i \quad i=1, \dots, g_A \quad j=1, \dots, g_B$$

Dann bildet die Menge der  $g_A \cdot g_B$  Elemente  $A_i B_j$

eine Gruppe, die sog. "Direkte Produkt-Gruppe"  $A \times B$

Beispiel:

$$C_{1h} = \{E, \sigma_h\}$$

↑ Spiegelung an der horizontalen Ebene

→ direkte Prod. Gr. :  $C_{3v} \times C_{1h}$

$$C_{3v} \times C_{1h} = \{E, C_3, C_3^{-1}, \sigma_1, \sigma_2, \sigma_3, \sigma_h, \\ C_3 \sigma_h, C_3^{-1} \sigma_h, C_3^{-1} \sigma_h, \sigma_1 \sigma_h, \sigma_2 \sigma_h, \sigma_3 \sigma_h\}$$

$$C_3 \sigma_h \sigma_1 \sigma_h = C_3 \sigma_1 \underbrace{\sigma_h \sigma_h}_{= E}$$

## Darstellung der direkten Produkt-Gruppe

Sei  $A \times B$  eine direkte Produktgruppe und  $\Gamma^{(a)}$  sei eine  $d_A$ -dim. Dst von  $A$  und  $\Gamma^{(b)}$  eine  $d_B$ -dim. Dst von  $B$ .

Dann ist

$$\left[ \Gamma^{(A \times B)}(A, B) \right]_{\text{irred.}} \equiv \Gamma^{(A)}(A) \otimes \Gamma^{(B)}(B)_{\text{irred.}}$$

eine irred. Darst. von  $A \times B$ . Weiterhin gilt, dass für  $\Gamma^{(A)}$  und  $\Gamma^{(B)}$  irred. Darst., auch  $\Gamma^{(A \times B)}$  eine irred. Darst. ist. Alle irreduziblen Darst. von  $A \times B$  können auf diese Weise erzeugt werden.

## Punktgruppen

Def: Eine Punktgruppe ist eine Gruppe von Symmetrieeoperationen, die ein endlich großes Objekt invariant lassen. Diese Operationen sind alle eigentliche oder uneigentliche Rotationen um einen festen Punkt

## Symmetrieeoperationen in Punktgruppen

$E$ : Einheitsoperation

$C_n$ : Rotationen um  $\frac{2\pi}{n}$  um eine "n-fache" Rotationsachse

$I$ : Inversion  $\vec{r} \rightarrow -\vec{r}$

$\sigma$ : Spiegelung an einer Ebene

$\sigma_h$ : Spiegelung in horiz. Ebene ( $\perp$  zu n-fache (Rot.-Achsen))

$\sigma_v$ : Spiegelung an einer vertikalen Ebene

$\sigma_d$ : ————— diagonale Ebene

$IC_n$ : Rotationsinversion (beachte:  $\sigma_h = IC_2$ )

Rotationsreflexion  $S_n = \sigma_h C_n = IC_2 C_n$

## Notation für Punktgruppen und ihre Inerps

endliche Systeme: alle Rotationen  $C_n$  um den Ursprung sind möglich für  $n$  ganzzahlig. Im periodischen Festkörper müsse die Rotationen kompatibel sein mit der (diskret) Translationsymmetrie

⇒ nur  $n = 1, 2, 3, 4, 5, 6$  sind möglich

Punktgruppen dieser Art sind die "kristallographischen Punktgruppen".

In "Schönflies" - Notation:

Gruppe  $C_n$ : nur Rotation um  $n$ -fache Rotationsachse  
→ zyklisch, abelsch

Gruppe  $C_i = \{E, I\}$

Gruppe  $C_{nv}$ :  $n$ -fache Rotation und  $n$  vertikale Spiegelebene ( $n = 2, 3, 4, 6$ )

Gruppe  $C_{nh}$ :  $n$ -fache Rotation und eine Spiegelung an horiz. Ebene, enthält Inversion für  $n = 2, 4, 6$

Gruppe  $S_n$ : nur  $n$ -fache Rotationsreflektionen

$n = 2$ :  $S_2 = C_i$

$n = 3$ :  $S_3 = C_{3h}$

Gruppe  $D_n$ :  $n$  zweifache Achsen senkrecht zu  $n$ -facher Rotation

Gruppe  $D_{nd}$ : zusätzlich  $n$  diagonale Spiegelebenen ( $n = 2, 3$ ) die halbieren Winkel zw. den zweifachen Achsen

Gruppe  $D_{nh}$ : zusätzlich zu  $D_n$  eine hor. Spiegelebene (enthält  $I$  für  $n = 2, 4, 6$ )

g

Gruppe  $O$ : 24 eigentliche Rotationen, die den Würfel invariant lassen

Gruppe  $O_h = O \times C_i$ : volle Symmetriegruppe des Würfels (einschl.  $I$ )

Gruppe  $T$ : 12 eigentliche Rotationen, die Tetraeder invariant lassen

Gruppe  $T_h = T \times C_i$

Gruppe  $T_d = (T \cup (6IC_4)) \cup (6\sigma_d)$

volle Symm.-Gruppe des regulären Tetraeders

gilt:  $O_h = T_d \times C_i$

Symmetrie von linearen Molekülen

$C_{\infty v}$ : Rotation um bel. Winkel um eine Achse

$D_{\infty h}$ : zus. Spiegelebene  $\perp$  Achse

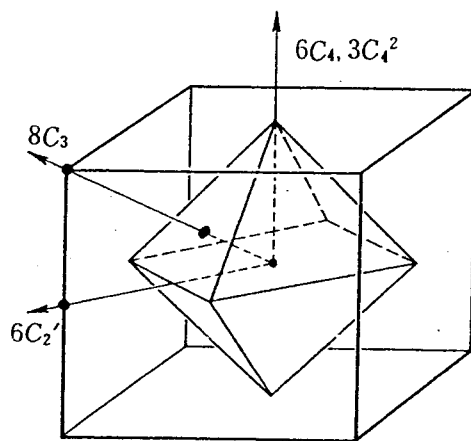


Fig. 8.4.

Fig. 8.4. Rotational operations of the group  $O$ . The numbers of similar operations are written in front of the rotation symbols

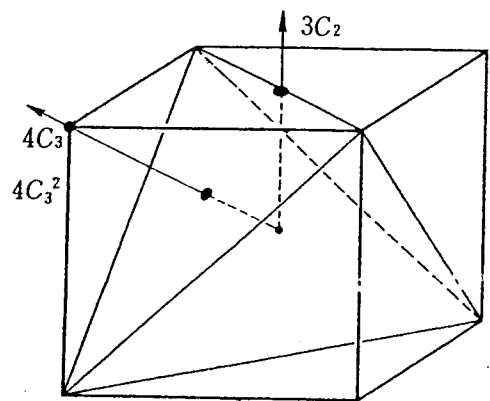


Fig. 8.5.

Fig. 8.5. Rotational operations of the group  $T$





$$\Rightarrow \hat{P}(\tau) w_k(\vartheta, \varphi) = w_k(\vartheta, \varphi)$$

d.h.  $w_k(\vartheta, \varphi)$  ist eine Basisfunktion der trivialen induzierten Darstellung der Punktgruppe  $O_h$

Andererseits: Kugelflächenfunktionen  $Y_{lm}$  (die die  $w_k$  bilden) transformieren wie Irreps der Rotationsgruppe  
 $\rightarrow$  Reduktion auf niedrigere Symmetrie

Bsp.: Kristallfeld in  $O_h$ -Gruppe

z.B. Metallatom im Feld von 6 Liganden in Oktaederpositionen

$$O_h = O \times C_i, \quad C_i = \{E, I\}$$

Charaktertafel von  $O$ :

	E	$8C_4$	$3C_2^2$	$6C_2$	$6C_2'$
$A_1$	1	1	1	1	1
$A_2$	1	-1	1	1	-1
E	2	0	2	-1	0
$T_1$	3	1	-1	0	-1
$T_2$	3	-1	-1	0	1

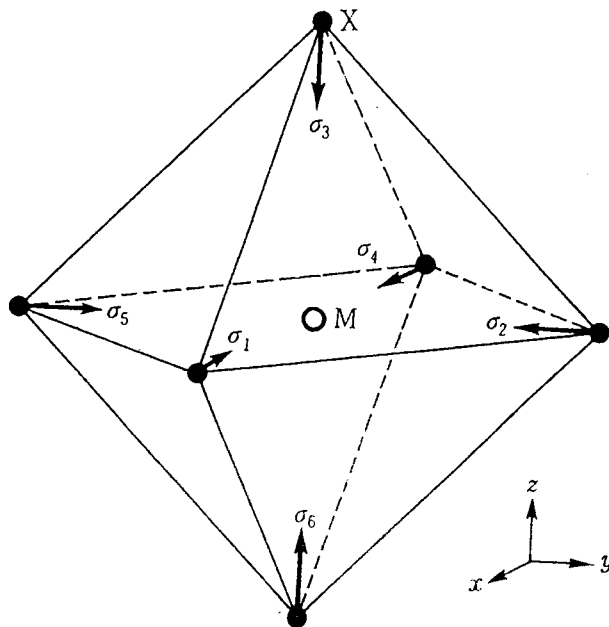


Fig. 9.6.  $\sigma$  orbitals of the six ligands in an  $MX_6$  complex ion

Reduktion der irreps der Rotationsgruppe in O-Symmetrie

Erinnerung:  $\chi^{(l)}(\vartheta) = \frac{\sin\left(\frac{2l+1}{2}\vartheta\right)}{\sin\left(\frac{\vartheta}{2}\right)}$

$l$	E	$6C_4$	$3C_2$	$8C_3$	$6C_2'$	Reduktion
0	1	1	1	1	1	$A_1$
1	3	1	-1	0	-1	$T_1$
2	5	-1	1	-1	1	$E \oplus T_2$
3	7	-1	-1	+1	-1	$A_2 \oplus T_1 \oplus T_2$
4	9	1	1	0	1	$A_1 \oplus E \oplus T_1 \oplus T_2$

Höhere  $l$  sind nicht mehr so wichtig

Triviale Darst.  $A_1$  taucht in der Reduktion nur für  $l=0,4$  auf

$\Rightarrow w_l(\vartheta, \varphi) = 0$  für  $l=1,2,3$

$w_4(\vartheta, \varphi) = \sum_{m=-4}^{+4} k_{4m} Y_{4m}(\vartheta, \varphi)$

Da  $A_1$  nur einmal in Reduktion von  $\Gamma^{(l=4)}$  auftritt  
 $\rightarrow$  es gibt nur eine Linearkombination der  $Y_{4m}$  die wie die triviale Darst. von O transformiert

$Y_{4m} \sim e^{im\varphi}$  linear unabh. für versch  $m$  (bei festem  $l$ )

Die gesuchte Basisfunktion soll invariant sein z.B. unter Rotation um  $\frac{\pi}{2}$  um die z-Achse  $\rightarrow \varphi \rightarrow \varphi + \frac{\pi}{2}$   
 $\rightarrow e^{im\varphi} \rightarrow e^{im\varphi} e^{im\frac{\pi}{2}}$

Invarianz  $\rightarrow m = 0, \pm 4$

$\rightarrow k_{4m} = 0$  für  $m = \pm 1, \pm 2, \pm 3$

$w_4(\vartheta, \varphi) = k_{44} Y_{44} + k_{4,-4} Y_{4,-4} + k_{4,0} Y_{4,0}$

Spiegelsymmetrie:  $w_4(\vartheta, -\varphi) \stackrel{!}{=} w_4(\vartheta, \varphi)$   
 $k_{44} = k_{4,-4}$

$$Y_{40} = \frac{1}{\sqrt{2\pi}} \sqrt{\frac{9}{128}} (35 \cos^4 \vartheta - 30 \cos^2 \vartheta + 3)$$

$$= \sqrt{\frac{9}{4\pi}} \sqrt{\frac{1}{64}} \frac{35z^4 - 30z^2r^2 + 3r^4}{r^4}$$

$$Y_{44} + Y_{4,-4} = \sqrt{\frac{2}{\pi}} \sqrt{\frac{315}{256}} \sin^4 \vartheta \cos(4\varphi)$$

$$= \sqrt{\frac{9}{4\pi}} \sqrt{\frac{35}{128}} \frac{2(x^4 - 6x^2y^2 + y^4)}{r^4}$$

$$w_4(\vartheta, \varphi) = \frac{1}{r^4} \sqrt{\frac{9}{25\pi}} \left[ 3k_{40} r^4 + 5k_{40} z^4 \right. \\ \left. + k_{44} \sqrt{20} (x^2 + y^2) \right. \\ \left. - 30 k_{40} (z^2 x^2 + z^2 y^2) \right. \\ \left. - 6 \sqrt{35} k_{44} x^2 y^2 \right]$$

Dieses Ergebnis soll invariant sein unter  $\hat{P}(C_3)$   
 für Rotation um die Raumdiagonale des Würfels

Verwende  $\hat{P}(C_3)x = y$ ,  $\hat{P}(C_3)y = z$ ,  $\hat{P}(C_3)z = x$

Inv. unter  $\hat{P}(C_3)$

$$\Rightarrow k_{44} = \sqrt{\frac{5}{14}} k_{40}$$

$$w_4(\vartheta, \varphi) = r^4 k_{40} \left[ Y_{40} + \sqrt{\frac{5}{14}} (Y_{44} + Y_{4,-4}) \right]$$

$$= \tilde{k}_{40} \left[ x^4 + y^4 + z^4 - \frac{3}{5} r^4 \right]$$

nichtsphärischer Anteil des Kristallfelds von  $d_n$  in  
 niedrigster nichtverschwindender Ordnung

# Raumgruppen und elektronische Zustände in Kristallen

Definiere ein unendliches 3-dim Gitter durch 3 linear unabh. Basisvektoren  $\vec{a}_1, \vec{a}_2, \vec{a}_3$  als die Menge der Gittervektoren

$$\vec{t}_n = u_1 \vec{a}_1 + u_2 \vec{a}_2 + u_3 \vec{a}_3$$

wobei  $u_i$  ganze Zahlen sind.

Eine reine Translation um einen Gittervektor  $\{1, \vec{t}_n\}$  heißt "primitive" Translation

Def.: Eine Raumgruppe  $\mathcal{G}$  ist eine Gruppe von Symmetrioperationen  $\{R(T), \vec{t}(T)\}$ , die als Untergruppe  $\tau$  die Menge aller primitiver Translationen eines Gitters enthält, weiterhin enthält ~~es~~ sie keine weitere reine Translationen.

Die Menge der Operationen  $\{R(T), \vec{0}\}$ , wobei  $R(T)$  über die versch. Rotationsanteile der Raumgruppe geht, bildet eine Gruppe  $\mathcal{G}_0$ , die Punktgruppe der Raumgruppe.

Beachte:  $\{R, \vec{0}\} \subset \mathcal{G}_0$  bedeutet nicht automatisch, dass  $\{R, \vec{0}\} \in \mathcal{G}$ . Es bedeutet aber, dass ein Vektor  $\vec{t}$  existiert, sodass  $\{R, \vec{t}\} \in \mathcal{G}$

Weiterhin: Sei  $\{R(T), \vec{t}(T)\}$  ein bel. Element der Raumgruppe  $\mathcal{G}$  und  $\{1, \vec{t}_n\}$  eine primitive Translation der entsprechenden Translationsgruppe. Dann ist

$$\begin{aligned} \{R(T), \vec{t}(T)\} \{1, \vec{t}_n\} \{R(T), \vec{t}(T)\}^{-1} \\ = \{1, R(T)\vec{t}_n\} \end{aligned}$$

$\Rightarrow \{1, R(T)\vec{t}_n\} \in \tau$  ( $\tau$  ist eine invariante Untergruppe von  $\mathcal{G}$ )

Es gibt 32 kristallographische Punktgruppen

Translationsymmetrie führt zu Einschränkungen der erlaubten Rotationen im Raum. Nur Rotationen um  $\frac{2\pi}{n}$  sind gestattet mit  $n = 1, 2, 3, 4, 6$

⇒ nur 14 Bravais-Gitter sind erlaubt, die sog. "Bravais-Gitter"

2 Symmetriesysteme: triklin, monoklin, trigonal (rhombohedral), hexagonal, orthorhombisch, tetragonal, kubisch  
Kristallstruktur: ordne jeden Gitterpunkt eine Basis von Atomen zu

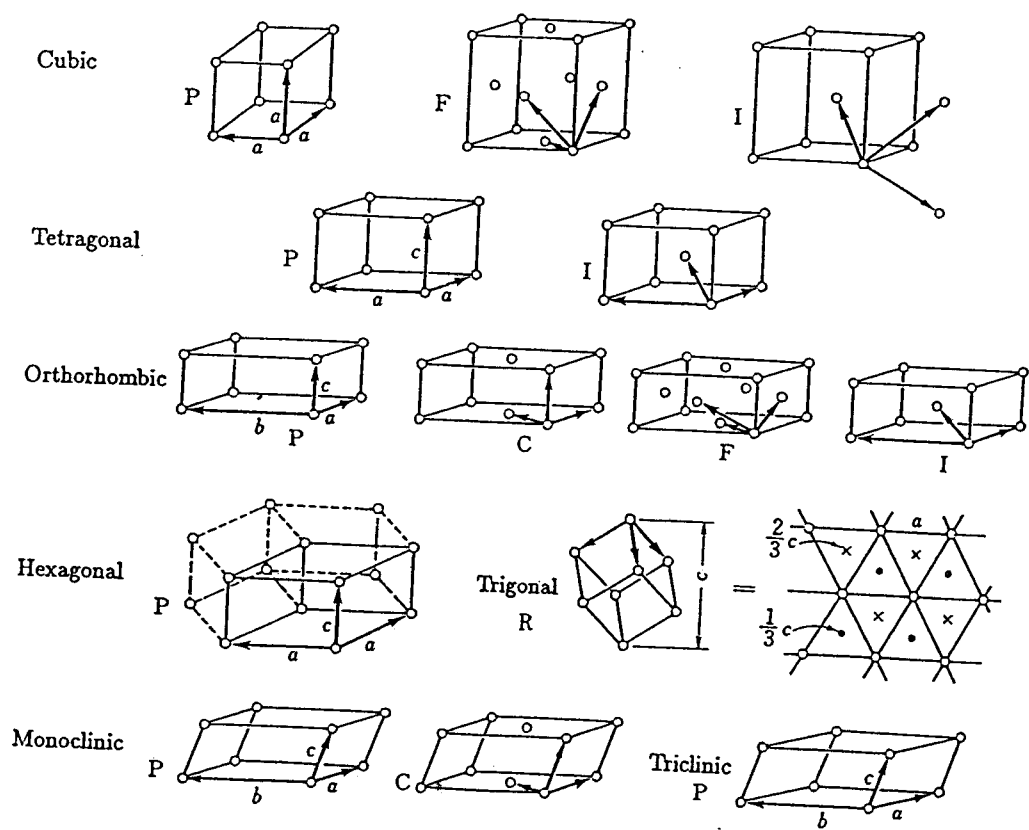
### Periodische Randbedingungen

echte Festkörper sind endlich → keine Translationsymmetrie  
aber: für "bulk" (im Inneren, weit von der Oberfl.) Eigenschaften sind oberflächeneigenschaften nicht relevant. Die meisten Ionen / Elektronen sind im Bulk

Zur Vereinfachung der mathematischen Beschreibung verwendet man periodische Randbedingungen: man nimmt an, dass für sehr große ganze Zahlen  $N_1, N_2, N_3$  die Situation am Punkt  $\vec{r}$  und  $\vec{r} + N_i \vec{a}_i$ ,  $i = 1, 2, 3$  physikalisch äquivalent ist → Randbedingung für Energieeigenfunktionen

$$\psi(\vec{r}) = \psi(\vec{r} + N_1 \vec{a}_1) = \psi(\vec{r} + N_2 \vec{a}_2) = \psi(\vec{r} + N_3 \vec{a}_3)$$

durch Koordinatentransformationen ausdrücke:  $\hat{P}(\sum_{i=1}^3 N_i \vec{a}_i)$   
 $= \hat{P}(\{1, 0\})$



**Fig. 11.6.** The fourteen Bravais lattices. The arrows show the fundamental period vectors commonly used

⇒ es gibt nur  $N = N_1 \cdot N_2 \cdot N_3$  verschiedene Translationsoperatoren

$$\hat{P}(\{\pm 1 | u_1 \vec{a}_1 + u_2 \vec{a}_2 + u_3 \vec{a}_3\}) \quad 0 \leq u_i < N \quad i = 1, 2, 3$$

$$\text{und } \hat{P}(\{\pm 1 | N_1 \vec{a}_1\}) = P(\{\pm 1 | \vec{a}_1\})^{N_1} = P(\{\pm 1 | \vec{0}\})$$

⇒ unter dieser Annahme (per RB) werden Raumgruppen zu endlichen Gruppen

Irreduzible Darstellungen der Gruppe der reinen, primitiven Translationen: Bloch-Theorem

mit period. Randbedingungen wird die Gruppe  $\tau$  aller reinen primitiven Translation eines Gitters zu einer endlichen abelschen Gruppe mit  $N = N_1 N_2 N_3$  Gruppenelementen  $\rightarrow$  Diese Gruppe hat  $N$  nichtäquivalente, 1-dim. irreduzible Darstellungen (jede Transformation <sup>bildet</sup> ~~ist~~ aufgrund der Abelsität seine eigene Klasse, Zahl der Irreps ist gleich Zahl der Klassen)

$$\text{Sei } \Gamma(\{\pm 1 | \vec{a}_i\}) = c_i \quad i = 1, 2, 3$$

$$\text{da gilt: } \hat{P}(\{\pm 1 | \vec{a}_i\})^{N_i} = \hat{P}(\{\pm 1 | \vec{0}\}) \rightarrow c_i^{N_i} = 1$$

$$c_i = \exp(-2\pi i \frac{P_i}{N_i}) \quad 0 \leq P_i \leq N_i$$

$$\begin{aligned} \Gamma(\{\pm 1 | \vec{t}_v\}) &= \Gamma(\{\pm 1 | u_1 \vec{a}_1 + u_2 \vec{a}_2 + u_3 \vec{a}_3\}) \\ &= \exp\left(2\pi i \left( \frac{P_1 u_1}{N_1} + \frac{P_2 u_2}{N_2} + \frac{P_3 u_3}{N_3} \right)\right) \end{aligned}$$

Def: Basisvektoren des reziproken Gitters über ~~der~~

$$a_i \cdot b_j = 2\pi \delta_{ij} \quad i, j = 1, 2, 3$$

$$\text{oder } \vec{b}_i = \frac{2\pi (\vec{a}_j \times \vec{a}_k)}{a_i (a_j \times a_k)}$$

Def: erlaubte  $\vec{k}$ -Vektoren

$$\vec{k} = k_1 \vec{b}_1 + k_2 \vec{b}_2 + k_3 \vec{b}_3 \quad k_i = \frac{P_i}{N_i}$$

$$\vec{k} \cdot \vec{E}_n = 2\pi \left( \frac{P_1 u_1}{N_1} + \frac{P_2 u_2}{N_2} + \frac{P_3 u_3}{N_3} \right)$$

$$N = N_1 N_2 N_3$$

$\Rightarrow$  1-dim Irreps der Translationsgruppe

$$\Gamma^{\vec{k}}(\{\mathbb{1} | \vec{E}_n\}) = \exp(-i \vec{k} \cdot \vec{E}_n)$$

Sei  $\psi_{\vec{k}}(\vec{r})$  eine Basisfunktion, die sich transformiert wie die irreduzible Darstellung  $\Gamma^{\vec{k}}$

$$\begin{aligned} \hat{P}(\{\mathbb{1} | \vec{E}_n\}) \psi_{\vec{k}}(\vec{r}) &= \Gamma^{\vec{k}}(\{\mathbb{1} | \vec{E}_n\}) \psi_{\vec{k}}(\vec{r}) \\ &= \exp(-i \vec{k} \cdot \vec{E}_n) \psi_{\vec{k}}(\vec{r}) \end{aligned}$$

$$\text{aber: } \hat{P}(\{\mathbb{1} | \vec{E}_n\}) \psi_{\vec{k}}(\vec{r}) = \psi_{\vec{k}}(\vec{r} - \vec{E}_n)$$

$$\Rightarrow \psi_{\vec{k}}(\vec{r} - \vec{E}_n) = \exp(-i \vec{k} \cdot \vec{E}_n) \psi_{\vec{k}}(\vec{r})$$

oder

$$\psi_{\vec{k}}(\vec{r}) = \exp(i \vec{k} \cdot \vec{r}) u_{\vec{k}}(\vec{r})$$

$$\text{mit } u_{\vec{k}}(\vec{r}) = u_{\vec{k}}(\vec{r} \pm \vec{E}_n)$$

Bloch-  
Theorem

beachte: Energieeigenfunktionen eines Hamiltonoperators

$\hat{H}(\vec{r})$  transformiert wie Irreps der Gruppe der Schrödinger-  
gleichung,  $\rightarrow$  Wenn  $\hat{H}$  diskrete Translations-symmetrie

$$\text{hat: } \hat{H}(\vec{r}) \psi_{\vec{k}}(\vec{r}) = E_{\vec{k}} \psi_{\vec{k}}(\vec{r})$$

mit Blochfunktionen  $\psi_{\vec{k}}(\vec{r})$

## Brillouinzone

Gittervektor im reziproken Raum:

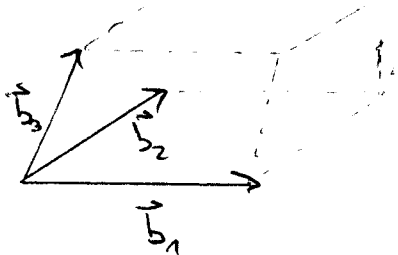
$$\vec{k}_m = m_1 \vec{b}_1 + m_2 \vec{b}_2 + m_3 \vec{b}_3 \quad m_i \text{ ganze Zahl}$$

$$\Rightarrow \exp(-i \vec{k}_m \cdot \vec{r}_n) = \exp(-2\pi i (m_1 n_1 + m_2 n_2 + m_3 n_3)) = 1$$

$$\Rightarrow \text{für zwei } \vec{k}\text{-Punkte mit } \vec{k}' = \vec{k} + \vec{k}_m$$

$$\Gamma^{\vec{k}'}(\{\sum 1 | \vec{r}_n\}) = \Gamma^{\vec{k}}(\{\sum 1 | \vec{r}_n\})$$

$\vec{k}'$  ist äquivalent zu  $\vec{k}$ , Impp  $\Gamma^{\vec{k}}$  kann genauso gut durch  $\vec{k}'$  charakterisiert werden



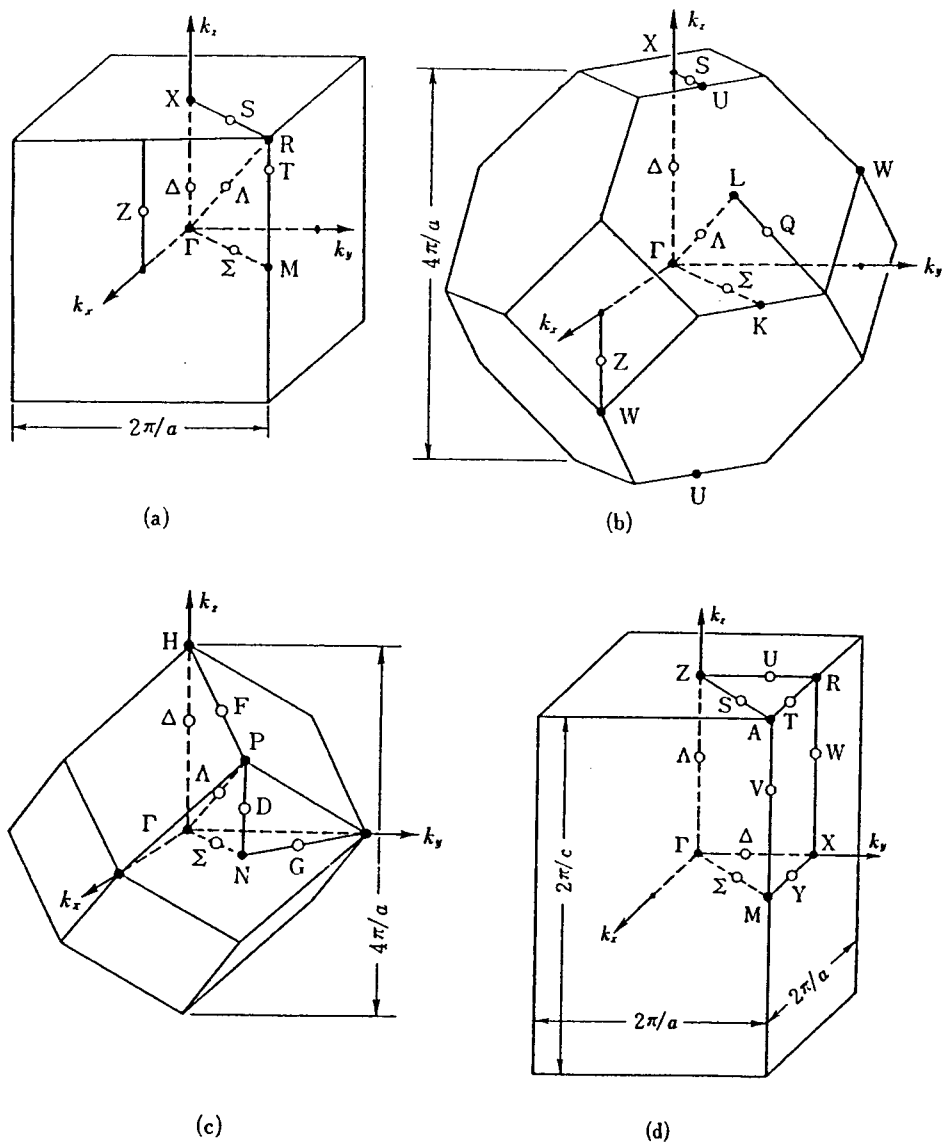
Die  $\vec{b}_i$  bilden Parallelepipeds, das man als Einheitszelle des reziproken Gitters betrachten kann.

Andere (weit gebräuchlichere) Einheitszelle

### (1) Brillouin-Zone

Menge aller Punkte im  $\vec{k}$ -Raum, die näher zu  $\vec{k} = 0$  liegen als zu jeder anderen reziproken Gittervektor (Wigner-Seitz-Zelle des rezipr. Gitters)

Konstruktion: Mittels Kreisebenen schmittgradien bilden die Grenze der Wigner-Seitz-Zelle)



**Fig. 11.7.** Brillouin zones for (a) simple cubic, (b) face-centered cubic, (c) body-centered cubic, and (d) simple tetragonal lattices

## Symmetrie und nicht-symmetrische Raumgruppen

Def: Eine symmetrische Raumgruppe ist eine Raumgruppe für die jede Symmetrieelemente der Gruppe aus einer Rotation gefolgt von einer primitiven Translation besteht

D.h. jedes Gruppenelement lässt sich schreiben als  $\{R | \vec{t}_n\}$ . Raumgruppen, die Elemente der Form  $\{R | \vec{t}\}$  mit einer nicht-primitiven Translation  $\vec{t}$ , heißen nicht-symmetrisch

In symmetrischen Raumgruppen  $G$  bildet die Punktgruppe  $G_0$  von  $G$  eine Untergruppe von  $G$ , da für jedes Element  $\{R | \vec{t}_n\} \in G$  das Element  $\{R | \vec{0}\}$  ebenfalls Element von  $G$  ist und es folgt:

$$\{R | \vec{0}\} = \{E | -\vec{t}_n\} \{R | \vec{t}_n\} \in G$$

Es gibt 73 symmetrische  $RG$ , z.B. Festkörper, die aus einem chem. Element bestehen

- wenn die Gitteratome auf Gitterpunkten eines Bravais-Gitters liegen  $\rightarrow$  symmetrische  $RG$
- wenn Gitteratome nicht auf Bravais-Gitter gebracht werden können  $\rightarrow$  nicht symmetrische  $RG$

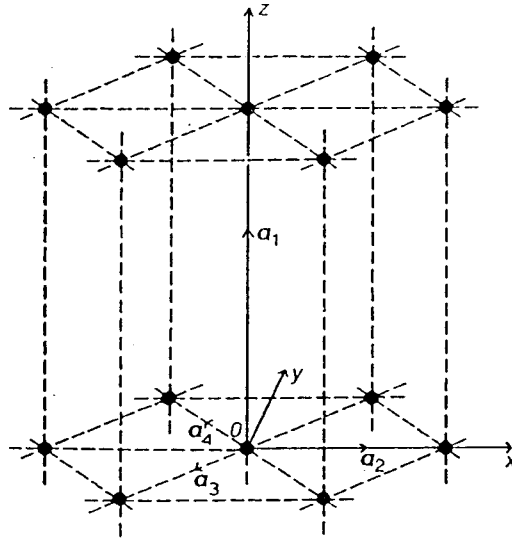


Fig. 1.8. The simple hexagonal lattice  $\Gamma_h$ . (Symmorphic)

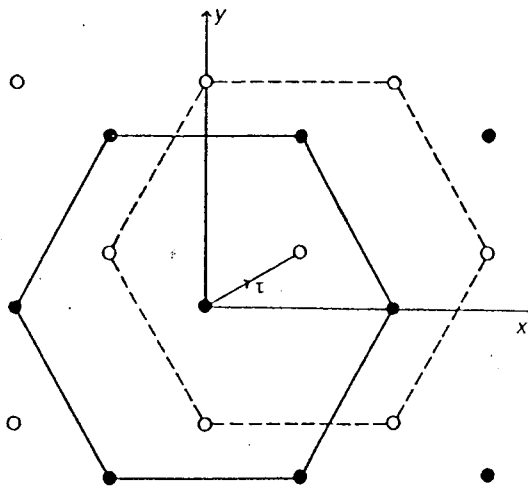


Fig. 1.9. The hexagonal closed-packed structure  $D_{6h}^4$ . The full and empty circles represent nuclei lying in the planes  $z=0$  and  $z=\frac{1}{2}c$  respectively.

(non-symmorphic)

## Irreduzible Darstellung von Symmetrien $R\mathcal{G}$

Zur Erinnerung: für erlaubte  $\vec{k}$ -Vektoren führt die Translations-  
symmetrie allein zu Energieeigenfunktionen der Bloch-Form

$$\psi_{\vec{k}}(\vec{r}) = e^{i\vec{k}\vec{r}} u_{\vec{k}}(\vec{r})$$

mit  $u_{\vec{k}}(\vec{r} + \vec{E}_n) = u_{\vec{k}}(\vec{r})$  für jede primitive Translation  
 $\vec{E}_n$

Def.: Die Punktgruppe  $G_0(\vec{k})$  des Wellenvektors  $\vec{k}$  ist die Unter-  
gruppe der Punktgruppe  $G_0$  von  $\mathcal{G}$ , die aus allen Rotationen  
 $\{R | 0\}$  aus  $G_0$  besteht, die  $\vec{k}$  auf sich selbst oder einen  
äquivalenten  $\vec{k}$ -Vektor rotieren, d.h.

$$R\vec{k} = \vec{k} + \vec{k}_m$$

mit einem Vektor  $\vec{k}_m$  des reziproken Gitters

- allgemeiner Punkt der Brillouin-Zone:  
wenn  $G_0(\vec{k})$  nur aus dem Einselement  $\{E | 0\}$  besteht
- Symmetriepunkt der Brillouinzone:  
wenn  $G_0(\vec{k})$  eine größere Gruppe ist als für alle benach-  
barten  $\vec{k}$ -Punkte
- Symmetrielinien bzw. -Ebenen:  
wenn alle  $\vec{k}$ -Punkte eine Linie bzw. Ebene dieselbe  
nicht-triviale Gruppe  $G_0(\vec{k})$  haben

Def: Der "Stem" von  $\vec{k}$

Sei  $\{R|O\} \in G_0$  aber  $\{R|O\} \notin G_0(\vec{k})$   
 $\Rightarrow R\vec{k}$  nicht äquivalent zu  $\vec{k}$ . Sei  $\vec{k}_2, \vec{k}_3, \dots$   
ein Satz von nicht-äquivalenten  $k$ -Vektoren, die  
man erhält indem man alle diese  $\{R|O\}$  auf  $\vec{k}$  anwendet.

Sei  $\vec{k}_1 = \vec{k}$  Dann heißt die Menge der  $M(\vec{k})$  Vektore  
 $\vec{k}_1, \vec{k}_2, \dots, \vec{k}_{M(\vec{k})}$  der "Stem von  $\vec{k}$ ". Mit dem Stem  
von  $\vec{k}$  kann man eine Menge von  $M(\vec{k})$  Rotationen  
 $\{R_1|O\}, \{R_2|O\}, \dots$  assoziieren, sodass

$$R_j \vec{k} = \vec{k}_j + k_u \quad j = 1 \dots M(\vec{k})$$

(Wahl der  $R_j$  typischerweise nicht eindeutig)

Setze  $R_1 = E$

Wenn  $g_0$  die Ordnung von  $G_0$  ist und  $g_0(\vec{k})$  ist  
die Ordnung von  $G_0(\vec{k})$  dann gilt

$$g_0 = g_0(\vec{k}) M(\vec{k})$$

Begründung: Man kann  $G_0$  aufteilen in  $M(\vec{k})$  Menge  
von Rotationen auf folgende Weise:

Sei  $R_j \in G_0(\vec{k})$  die Menge von  $g_0(\vec{k})$  verschiedener  
Rotationen, die man erhält wenn man  $R_j$  von links auf  
jedes Element von  $G_0(\vec{k})$  multipliziert. Jedes Element  
von  $R_j G_0(\vec{k})$  liefert, wenn es angewandt wird auf  
 $\vec{k}$ , einen Vektor äquivalent zu  $\vec{k}_j \rightarrow$  keine Rotation  
kann Element zweier Menge sein.

Außerdem muss jede Rotation einer Menge angehören.

$R\vec{k}$  ist äquivalent zu einem der  $k_j$  (Elemente des Sterns)

$\Rightarrow R_j^{-1} R$  ist Element von  $G_0(\vec{k})$

$\Rightarrow R$  ist Element von  $R_j G_0(\vec{k})$

Theorem: Irreduzible Darstellungen symmetrischer  $PG$

Sei  $\vec{k}$  ein erlaubter  $\vec{k}$ -Vektor und  $\{R_j | 0\}$  ( $j=1, 2, \dots, M(\vec{k})$ )

eine Menge von Rotationen assoziiert zum Stern von  $\vec{k}$

Sei  $\Gamma_{G_0(\vec{k})}^P$  eine unitäre, irreduzible Darstellung von

$G_0(\vec{k})$  mit Dimension  $d_P$ . Dann gibt es eine unitäre

irreduzible Darstellung  $\Gamma^{\vec{k}P}$  der Raumgruppe  $G$  mit

$$\Gamma^{\vec{k}P}(\{R | t_n\})_{j,t,i,s} = \begin{cases} \exp(-i(R_j\vec{k} \cdot t_n)) \Gamma_{G_0(\vec{k})}^P(\{R_j^{-1} R R_j | 0\})_{ts} & \text{wenn } R_j^{-1} R R_j \in G_0(\vec{k}) \\ 0 & \text{sonst} \end{cases}$$

für  $i, j = 1, \dots, M(\vec{k})$  und  $t, s = 1, \dots, d_P$

Alle Irreps von  $G$  können auf diese Art konstruiert

werden, indem man alle inäquivalenten Irreps von  $G_0(\vec{k})$

und alle erlaubten  $\vec{k}$ -Vektoren durcharbeitet

Beweis: Cornwell, Group Theory and Electronic Energy Bands in Solids

Theorem: Sei  $\chi_{j,r}^{\vec{k}P}$  ( $j=1, \dots, M(\vec{k})$ ,  $r=1, \dots, d_P$ )

eine Menge von Basisfunktionen der irreduziblen

Darstellung  $\Gamma^{\vec{k}P}$  von  $G$

Dann gilt:

- $\psi_{j\vec{r}}^{\vec{k}P}(\vec{r})$  ist eine Blochfunktion mit Wellenvektor  $R_j \vec{k}$
- die Funktionen  $\psi_{j\vec{r}}^{\vec{k}P}(\vec{r})$ ,  $r=1, \dots, d_p$  bilden eine Basis der unitären irreduziblen Darstellung  $\Gamma_{g_0}^P(\vec{k})$
- $\psi_{j\vec{r}}^{\vec{k}P}(\vec{r}) = \hat{P}(\{\sum R_j | 0 \}) \psi_{1\vec{r}}^{\vec{k}P}(\vec{r})$  für  $j=1, \dots, M(\vec{k})$

Konsequenzen:

- Sei  $\vec{k}$  ein allgemeiner Punkt der BZ

$$\Rightarrow g_0(\vec{k}) = \{ \{ E | \vec{0} \} \}$$

$$\Rightarrow \Gamma^1(\{ E | \vec{0} \}) = 1, \quad g_0(\vec{k}) = 1, \quad M(\vec{k}) = g_0$$

Sei  $\psi_{j, r=1}^{\vec{k}, P=1}(\vec{r}) = \exp(i\vec{k}\vec{r}) u_{\vec{k}}(\vec{r})$  eine Eigenfunktion

von  $H$  für dieses  $\vec{k}$  und Eigenwert  $\epsilon(\vec{k})$

$$\psi_{j, r=1}^{\vec{k}, P=1}(\vec{r}) = \hat{P}(\{\sum R_j | 0 \}) \psi_{1, r=1}^{\vec{k}, P=1}(\vec{r}) \quad j=1, \dots, M(\vec{k})$$

$$= \exp(i\vec{k} \cdot (R_j^{-1} \vec{r})) u_{\vec{k}}(R_j^{-1} \vec{r})$$

$$= \exp(i(R_j \vec{k}) \cdot \vec{r}) u_{\vec{k}}(R_j^{-1} \vec{r})$$

$\rightarrow \psi_{j, r=1}^{\vec{k}, P=1}$  ist Blochfunktion zum  $\vec{k}$ -Vektor  $R_j \vec{k}$

mit demselben Energieeigenwert

$$\boxed{\epsilon(R_j \vec{k}) = \epsilon(\vec{k})}$$

$\rightarrow$  Bandstruktur hat die Symmetrie der Punktgruppe  $g_0$  von  $g$